arXiv:gr-qc/0405027v3 27 Jan 2008

Reference Frame in General Relativity

Aleks Kleyn

Abstract. A reference frame in event space is a smooth field of orthonormal bases. Every reference frame is equipped by anholonomic coordinates. Using anholonomic coordinates allows to find out relative speed of two observers and appropriate Lorentz transformation.

Synchronization of a reference frame is an anholonomic time coordinate. Simple calculations show how synchronization influences time measurement in the vicinity of the Earth.

Measurement of Doppler shift from the star orbiting the black hole helps to determine mass of the black hole. According observations of Sgr A, if non orbiting observer estimates age of S2 about 10 Myr, this star is 0.297 Myr younger.

1. Geometrical Object and Invariance Principle

The invariance principle which we studied [14] is limited by vector spaces and we can use it only in frame of the special relativity. Our task is to describe structures which allow to extend the invariance principle to general relativity.

A measurement of a spatial interval and a time length is one of the major tasks of general relativity. This is a physical process that allows the study of geometry in a certain area of spacetime. From a geometrical point of view, the observer uses an orthonormal basis in a tangent plane as his measurement tool because an orthonormal basis leads to the simplest local geometry. When the observer moves from point to point he brings his measurement tool with him.

Notion of a geometrical object is closely related with physical values measured in space time. The invariance principle allows expressing physical laws independently from the selection of a basis. On the other hand if we want to examine a relationship obtained in the test, we need to select measurement tool. In our case this is basis. Choosing the basis we can define coordinates of the geometrical object corresponding to studied physical value. Hence we can define the measured value.

Every reference frame is equipped by anholonomic coordinates. For instance, synchronization of a reference frame is an anholonomic time coordinate. Simple calculations show how synchronization influences time measurement in the vicinity of the Earth. Measurement of Doppler shift from the star orbiting the black hole helps to determine mass of the black hole.

Sections 9.1 and 10 show importance of calculations in orthogonal frame. Coordinates that we use in event space are just labels and calculations that we make in coordinates may appear not reliable. For instance in papers [6, 7] authors determine coordinate speed of light. This leads to not reliable answer and as consequence of this to the difference of speed of light in different directions.

Aleks_Kleyn@MailAPS.org.

Few authors consider Einstein's idea about variability of speed of light [13]. However Einstein proposed this idea when supposed to create theory of gravity in Minkovsky space, therefore he assumed that scale of space and time does not change. When Einstein learned Riemann geometry he changed his mind and never returned to idea about variable speed of light. Scale of space and time and speed of light are correlated in present theory and we cannot change one without changing another.

There are few papers dedicated to a variable speed of light theory [8, 9]. Their theory is based on idea that metric tensor may be scaleable relative dilatation. This idea is not new. As soon as Einstein published general relativity Weyl introduced his idea to make theory invariant relative conformal transformation. However Einstein was firmly opposed to this idea because it broke dependence between distance and proper time. You can find detailed analysis in [10].

We have strong relation between the speed of light and units of length and time in special and general relativity. When we develop new theory and discover that speed of light is different we should ask ourselves about the reason. Did we make accurate measurement? Do we have alternative way to exchange information and synchronize reference frame? Did transformations between reference frames change and do they create group?

In some models photon may have small rest mass [11]. In this case speed of light is different from maximal speed and may depend on direction. Recent experiment [12] put limitation on parameters of these models.

2. Reference Frame on Manifold

As is shown in section [14]-5 we can identify frame manifold of vector space and symmetry group of this space. Our interest was not details of structure of basis, and stated theory can be generalized and extended on an arbitrary manifold. The details of structure of basis did not interest us and stated theory can be generalized. In this section we generalize the definition of a frame and introduce a reference frame on a manifold. In case of an event space of general relativity it leads us to a natural definition of a reference frame and the Lorentz transformation.

When we study manifold $\mathcal{V}$ the geometry of tangent space is one of important factors. In this section, we will make the following assumption.

- All tangent spaces have the same geometry.
- Tangent space is vector space $\mathcal{V}$ of finite dimension n.
- Symmetry group of tangent space is Lie group G.

Definition 2.1. Set $\overline{\overline{e}} =< \overline{e}_{(i)}, i \in I >$ of vector fields $\overline{e}_{(i)}$ is called ***G*-reference frame**, if for any $x \in \mathcal{V}$ set $\overline{\overline{e}}(x) =< \overline{e}_{(i)}(x), i \in I >$ is a G-basis[1] in tangent space T_x.[2] We use notation $\overline{e}_{(i)} \in \overline{\overline{e}}$ for vector fields which form G-reference frame $\overline{\overline{e}}$. □

Vector field $\overline{a}$ has expansion

$$\overline{a} = a^{(i)}\overline{e}_{(i)} \tag{2.1}$$

relative reference frame $\overline{\overline{e}}$.

If we do not limit definition of a reference frame by symmetry group, then at each point of the manifold we can select reference frame $\overline{\overline{\partial}} =< \overline{\partial}_i >$ based on vector fields tangent to lines $x^i = const$. We call this field of bases the **coordinate reference frame**. Vector field $\overline{a}$ has expansion

---

[1] According to section [14]-5 we can identify basis $\overline{\overline{e}}(x)$ with an element of group G.

[2] In each particular case we need to prove existence of G-reference frame on manifold.

$$\overline{a} = a^i \overline{\partial}_i \tag{2.2}$$

relative coordinate reference frame. Then standard coordinates of reference frame $\overline{\overline{e}}$ have form $e^k_{(i)}$

$$\overline{e}_{(i)} = e^k_{(i)} \overline{\partial}_k \tag{2.3}$$

Because vectors $\overline{e}_{(i)}$ are linearly independent at each point matrix $\|e^k_{(i)}\|$ has inverse matrix $\|e^{(i)}_k\|$

$$\overline{\partial}_k = e^{(i)}_k \overline{e}_{(i)} \tag{2.4}$$

We use also a more extensive definition for reference frame on manifold, presented in form $\overline{\overline{e}} = (\overline{e}_{(k)}, \overline{e}^{(k)})$ where we use the set of vector fields $\overline{e}_{(k)}$ and dual forms $\overline{e}^{(k)}$ such that

$$\overline{e}^{(k)}(\overline{e}_{(l)}) = \delta^{(k)}_{(l)} \tag{2.5}$$

at each point. Forms $\overline{e}^{(k)}$ are defined uniquely from (2.5).

In a similar way, we can introduce a coordinate reference frame $(\overline{\partial}_i, \overline{d}s^i)$. These reference frames are linked by the relationship

$$\overline{e}_{(k)} = e^i_{(k)} \overline{\partial}_i \tag{2.6}$$

$$\overline{e}^{(k)} = e^{(k)}_i \overline{d}x^i \tag{2.7}$$

From equations (2.6), (2.7), (2.5) it follows

$$e^{(k)}_i e^i_{(l)} = \delta^{(k)}_{(l)} \tag{2.8}$$

In particular we assume that we have $GL(n)$-reference frame (∂, dx) raised by n differentiable vector fields ∂_i and 1-forms dx^i, that define field of bases ∂ and cobases dx dual them.

If we have function φ on V than we define **pfaffian derivative**

$$d\varphi = \partial_i \varphi dx^i$$

3. REFERENCE FRAME IN EVENT SPACE

Starting from this section, we consider orthogonal reference frame $\overline{\overline{e}} = (\overline{e}_{(k)}, \overline{e}^{(k)})$ in Riemann space with metric g_{ij}. According to definition, at each point of Riemann space vector fields of orthogonal reference frame satisfy to equation

$$g_{ij} e^i_{(k)} e^j_{(l)} = g_{(k)(l)}$$

where $g_{(k)(l)} = 0$, if $(k) \neq (l)$, and $g_{(k)(k)} = 1$ or $g_{(k)(k)} = -1$ depending on signature of metric.

We can define the **reference frame in event space** V as $O(3,1)$-reference frame. To enumerate vectors, we use index $k = 0, ..., 3$. Index $k = 0$ corresponds to time like vector field.

Remark 3.1. We can prove the existence of a reference frame using the orthogonolization procedure at every point of space time. From the same procedure we get that coordinates of basis smoothly depend on the point.

A smooth field of time like vectors of each basis defines congruence of lines that are tangent to this field. We say that each line is a world line of an observer or a **local reference frame**. Therefore a reference frame is set of local reference frames. □

We define the **Lorentz transformation** as transformation of a reference frame

$$x'^i = f^i(x^0, x^1, x^2, x^3)$$

$$e'^i_{(k)} = a^i_j b^{(l)}_{(k)} e^j_{(l)} \tag{3.1}$$

where

$$a^i_j = \frac{\partial x'^i}{\partial x'^j}$$

$$\delta_{(i)(l)} b^{(i)}_{(j)} b^{(l)}_{(k)} = \delta_{(j)(k)}$$

We call the transformation a^i_j the holonomic part and transformation $b^{(l)}_{(k)}$ the anholonomic part.

4. ANHOLONOMIC COORDINATES

Let $E(V, G, \pi)$ be the principal bundle, where V is the differential manifold of dimension n and class not less than 2. We also assume that G is symmetry group of tangent plain.

We define connection form on principal bundle

$$\omega^L = \lambda^L_N da^N + \Gamma^L_i dx^i \quad \omega = \lambda_N da^N + \Gamma dx \tag{4.1}$$

We call functions Γ_i connection components.

If fiber is group $GL(n)$, than connection has form

$$\omega^a_b = \Gamma^a_{bc} dx^c \tag{4.2}$$

$$\Gamma^A_i = \Gamma^a_{bi}$$

A vector field $\overline{a}$ has two types of coordinates: **holonomic coordinates** a^i relative coordinate reference frame and **anholonomic coordinates** $a^{(i)}$ relative reference frame. These two forms of coordinates also hold the relation

$$a^i(x) = e^i_{(i)}(x) a^{(i)}(x) \tag{4.3}$$

at any point x.

We can study parallel transfer of vector fields using any form of coordinates. Because (3.1) is a linear transformation we expect that parallel transfer in anholonomic coordinates has the same representation as in holonomic coordinates. Hence we write

$$da^k = -\Gamma^k_{ij} a^i dx^j$$

$$da^{(k)} = -\Gamma^{(k)}_{(i)(j)} a^{(i)} dx^{(j)}$$

It is required to establish link between **holonomic coordinate of connection** Γ^k_{ij} and **anholonomic coordinates of connection** $\Gamma^{(k)}_{(i)(j)}$

$$a^i(x + dx) = a^i(x) + da^i = c^i(x) - \Gamma^i_{kp} c^k(x) dx^p \tag{4.4}$$

$$a^{(i)}(x+dx)=a^{(i)}(x)+da^{(i)}=c^{(i)}(x)-\Gamma^{(i)}_{(k)(p)}c^{(k)}(x)dx^{(p)}\tag{4.5}$$

Considering (4.4), (4.5), and (4.3) we get

$$\begin{aligned}&a^i(x)-\Gamma^i_{kp}a^k(x)dx^p\\&=e^i_{(i)}(x+dx)\left(a^{(i)}(x)-\Gamma^{(i)}_{(k)(p)}e^{(k)}_i(x)a^i(x)e^{(p)}_p(x)dx^p\right)\end{aligned}\tag{4.6}$$

It follows from (4.6) that

$$\begin{aligned}\Gamma^{(i)}_{(k)(p)}e^{(k)}_i(x)e^{(p)}_p(x)a^i(x)dx^p&=a^{(i)}(x)-e^{(i)}_i(x+dx)\left(a^i(x)-\Gamma^i_{kp}a^k(x)dx^p\right)\\&=a^i(x)e^{(i)}_i(x)-e^{(i)}_i(x+dx)\left(a^i(x)-\Gamma^i_{kp}a^k(x)dx^p\right)\\&=a^i(x)\left(e^{(i)}_i(x)-e^{(i)}_i(x+dx)\right)+e^{(i)}_j(x)\Gamma^j_{ip}a^i(x)dx^p\\&=e^{(i)}_j(x)\Gamma^j_{ip}a^i(x)dx^p-a^i(x)\frac{\partial e^{(i)}_i(x)}{\partial x^p}dx^p\\&=\left(e^{(i)}_j(x)\Gamma^j_{ip}-\frac{\partial e^{(i)}_i(x)}{\partial x^p}\right)a^i(x)dx^p\end{aligned}$$

Because $a^i(x)$ and dx^p are arbitrary we get

$$\Gamma^{(i)}_{(k)(p)}e^{(k)}_i(x)e^{(p)}_p(x)=e^{(i)}_j(x)\Gamma^j_{ip}-\frac{\partial e^{(i)}_i(x)}{\partial x^p}$$

$$\Gamma^{(i)}_{(k)(p)}=e^i_{(k)}e^p_{(p)}e^{(i)}_j\Gamma^j_{ip}-e^i_{(k)}e^p_{(p)}\frac{\partial e^{(i)}_i}{\partial x^p}\tag{4.7}$$

We introduce symbolic operator

$$\frac{\partial}{\partial x^{(p)}}=e^p_{(p)}\frac{\partial}{\partial x^p}\tag{4.8}$$

From (2.8) it follows

$$e^i_{(l)}\frac{\partial e^{(k)}_i}{\partial x^p}+e^{(k)}_i\frac{\partial e^i_{(l)}}{\partial x^p}=0\tag{4.9}$$

Substitude (4.8) and (4.9) into (4.7)

$$\Gamma^{(i)}_{(k)(p)}=e^i_{(k)}e^p_{(p)}e^{(i)}_j\Gamma^j_{ip}-e^{(i)}_i\frac{\partial e^i_{(k)}}{\partial x^{(p)}}\tag{4.10}$$

Equation (4.10) shows some similarity between holonomic and anholonomic coordinates. We introduce symbol $\partial_{(k)}$ for the derivative along vector field $e_{(k)}$

$$\partial_{(k)}=e^i_{(k)}\partial_i$$

Then (4.10) takes the form

$$\Gamma^{(k)}_{(l)(p)}=e^i_{(l)}e^r_{(p)}e^{(k)}_j\Gamma^j_{ir}-e^i_{(l)}\partial_{(p)}e^{(k)}_i$$

Therefore when we move from holonomic coordinates to anholonomic, the connection transforms the way similarly to when we move from one coordinate system to another. This leads us to the model of anholonomic coordinates.

The vector field $e_{(k)}$ generates lines defined by the differential equations

$$e^j_{(l)}\frac{\partial t}{\partial x^j}=\delta^{(k)}_{(l)}$$

or the symbolic system

$$\frac{\partial t}{\partial x^{(l)}}=\delta^{(k)}_{(l)} \tag{4.11}$$

Keeping in mind the symbolic system (4.11) we denote the functional t as $x^{(k)}$ and call it the **anholonomic coordinate**. We call the regular coordinate holonomic.

From here we can find derivatives and get

$$\frac{\partial x^{(i)}}{\partial x^k}=e^{(i)}_k \tag{4.12}$$

The necessary and sufficient conditions of complete integrability of system (4.12) are

$$c^{(i)}_{(k)(l)}=0$$

where we introduced **anholonomity object**

$$c^{(i)}_{(k)(l)}=e^k_{(k)}e^l_{(l)}\left(\frac{\partial e^{(i)}_k}{\partial x^l}-\frac{\partial e^{(i)}_l}{\partial x^k}\right) \tag{4.13}$$

Therefore each reference frame has n vector fields

$$\partial_{(k)}=\frac{\partial}{\partial x^{(k)}}=e^i_{(k)}\partial_i$$

which have commutator

$$\begin{aligned}[\partial_{(i)},\partial_{(j)}]=\left(e^k_{(i)}\partial_k e^l_{(j)}-e^k_{(j)}\partial_k e^l_{(i)}\right)e^{(m)}_l\partial_{(m)}=\\ e^k_{(i)}e^l_{(i)}\left(-\partial_k e^{(m)}_l+\partial_l e^{(m)}_l\right)\partial_{(m)}=c^{(m)}_{(k)(l)}\partial_{(m)}\end{aligned}$$

For the same reason we introduce forms

$$dx^{(k)}=e^{(k)}=e^{(k)}_l dx^l$$

and an exterior differential of this form is

$$\begin{aligned}d^2x^{(k)}&=d\left(e^{(k)}_i dx^i\right)\\ &=\left(\partial_j e^{(k)}_i-\partial_i e^{(k)}_j\right)dx^i\wedge dx^j\\ &=-c^{(m)}_{(k)(l)}dx^{(k)}\wedge dx^{(l)}\end{aligned} \tag{4.14}$$

Therefore when $c^{(i)}_{(k)(l)}\neq 0$, the differential $dx^{(k)}$ is not an exact differential and the system (4.12) in general cannot be integrated. However we can create a meaningful object that models the solution. We can study how function $x^{(i)}$ changes along different lines. We call such cordinates **anholonomic coordinates on manifold**.

Remark 4.1. Function $x^{(i)}$ is a natural parameter along a flow line of vector field $\overline{e}_{(i)}$. We study an instance of such function in section 8. The proper time is defined along world line of local reference frame. As we see in remark 3.1 world lines of local reference frames cover spacetime. To make proper time of local reference frames as time of reference frame we expect that proper time smoothly changes from point to point. To synchronize clocks of local reference frames we use classical procedure of exchange light signals.

From mathematical point of view this is problem to integrate differential form. However, a change of function along a loop is

$$
\begin{aligned}
\Delta x^{(i)} &= \oint dx^{(i)} \\
&= \int\int c^{(i)}_{(k)(l)} dx^{(k)} \wedge dx^{(l)} \\
&= \int\int c^{(i)}_{(k)(l)} e^{(k)}_k e^{(l)}_l dx^k \wedge dx^l
\end{aligned}
\tag{4.15}
$$

Somebody may have impression that we cannot synchronize clock, however this conflicts with our observation. We accept that synchronization is possible until we introduce time along non closed lines. Synchronization breaks when we try synchronize clocks along closed line.

This means ambiguity in definition of anholonomic coordinates. □

From now on we will not make a difference between holonomic and anholonomic coordinates. Also, we will denote $b^{(l)}_{(k)}$ as $a^{-1}{}^{(l)}_{(k)}$ in the Lorentz transformation (3.1).

Even form $dx^{(k)}$ is not exact differential, we can see that form $d^2x^{(k)}$ is exterior differential of form $dx^{(k)}$. Therefore

$$d^3x^{(k)} = 0 \tag{4.16}$$

We can represent exterior differential of form, written in anholonomic coordinates, as

$$
\begin{aligned}
&d(a_{(i_1)\dots(i_n)} dx^{(i_1)} \wedge \dots \wedge dx^{(i_n)}) \\
=&a_{(i_1)\dots(i_n),p} dx^p \wedge dx^{(i_1)} \wedge \dots \wedge dx^{(i_n)} \\
-&a_{(i_1)\dots(i_n)} ddx^{(i_1)} \wedge \dots \wedge dx^{(i_n)} - \dots - (-1)^{n-1} a_{(i_1)\dots(i_n)} dx^{(i_1)} \wedge \dots \wedge ddx^{(i_n)} \\
=&a_{(i_1)\dots(i_n),(p)} e^{(p)}_p e^p_{(r)} dx^{(r)} \wedge dx^{(i_1)} \wedge \dots \wedge dx^{(i_n)} \\
-&a_{(i_1)\dots(i_n)} c^{(i_1)}_{(p)(r)} dx^{(p)} \wedge dx^{(r)} \wedge \dots \wedge dx^{(i_n)} - \dots \\
-&(-1)^{n-1} a_{(i_1)\dots(i_n)} dx^{(i_1)} \wedge \dots \wedge c^{(i_n)}_{(p)(r)} dx^{(p)} \wedge dx^{(r)} \\
=&(a_{(i_1)\dots(i_n),(p)} - a_{(r)\dots(i_n)} c^{(r)}_{(p)(i_1)} - \dots - a_{(i_1)\dots(r)} c^{(r)}_{(p)(i_n)}) dx^{(p)} \wedge dx^{(i_1)} \wedge \dots \wedge dx^{(i_n)}
\end{aligned}
$$

In case of form $d^3x^{(k)}$ we get equation

$$
\begin{aligned}
&d(c^{(k)}_{(i)(j)} dx^{(i)} \wedge dx^{(j)}) \\
&= (c^{(k)}_{(i)(j),(p)} - c^{(k)}_{(r)(j)} c^{(r)}_{(p)(i)} - c^{(k)}_{(i)(r)} c^{(r)}_{(p)(j)}) dx^{(p)} \wedge dx^{(i)} \wedge dx^{(j)}
\end{aligned}
\tag{4.17}
$$

From equations (4.16) and (4.17) it follows

$$(c^{(k)}_{(i)(j),(p)} - c^{(k)}_{(r)(j)} c^{(r)}_{(p)(i)} - c^{(k)}_{(i)(r)} c^{(r)}_{(p)(j)}) dx^{(p)} \wedge dx^{(i)} \wedge dx^{(j)} = 0 \tag{4.18}$$

It is easy to see that

$$
\begin{aligned}
&(-c^{(k)}_{(r)(j)} c^{(r)}_{(p)(i)} - c^{(k)}_{(i)(r)} c^{(r)}_{(p)(j)}) dx^{(i)} \wedge dx^{(j)} \\
&= (-c^{(k)}_{(r)(j)} c^{(r)}_{(p)(i)} + c^{(k)}_{(r)(i)} c^{(r)}_{(p)(j)}) dx^{(i)} \wedge dx^{(j)} \\
&= -2 c^{(k)}_{(r)(j)} c^{(r)}_{(p)(i)} dx^{(i)} \wedge dx^{(j)}
\end{aligned}
\tag{4.19}
$$

Substituting from (4.19) into (4.18) gives

$$(c^{(k)}_{(i)(j),(p)} - 2 c^{(k)}_{(r)(j)} c^{(r)}_{(p)(i)}) dx^{(p)} \wedge dx^{(i)} \wedge dx^{(j)} = 0 \tag{4.20}$$

From (4.20), it follows

$$\begin{aligned}&c^{(k)}_{(i)(j),(p)}+c^{(k)}_{(j)(p),(i)}+c^{(k)}_{(p)(i),(j)}\\&=2c^{(k)}_{(r)(j)}c^{(r)}_{(p)(i)}+2c^{(k)}_{(r)(p)}c^{(r)}_{(i)(j)}+2c^{(k)}_{(r)(i)}c^{(r)}_{(j)(p)}\end{aligned}\tag{4.21}$$

We define the curvature form for connection (4.1)

$$\Omega=d\omega+[\omega,\omega]$$

$$\Omega^D=d\omega^D+C^D_{AB}\omega^A\wedge\omega^B=R^D_{ij}dx^i\wedge dx^j$$

where we defined a curvature object

$$R^D_{ij}=\partial_i\Gamma^D_j-\partial_j\Gamma^D_i+C^D_{AB}\Gamma^A_i\Gamma^B_j+\Gamma^D_k c^k_{ij}$$

The curvature form for the connection (4.2) is

$$\Omega^a_c=d\omega^a_c+\omega^a_b\wedge\omega^b_c\tag{4.22}$$

where we defined a curvature object

$$R^D_{ij}=R^a_{bij}=\partial_i\Gamma^a_{bj}-\partial_j\Gamma^a_{bi}+\Gamma^a_{ci}\Gamma^c_{bj}-\Gamma^a_{cj}\Gamma^c_{bi}+\Gamma^a_{bk}c^k_{ij}\tag{4.23}$$

We introduce Ricci tensor

$$R_{bj}=R^a_{baj}=\partial_a\Gamma^a_{bj}-\partial_j\Gamma^a_{ba}+\Gamma^a_{ca}\Gamma^c_{bj}-\Gamma^a_{cj}\Gamma^c_{ba}+\Gamma^a_{bk}c^k_{aj}$$

5. METRIC-AFFINE MANIFOLD

For connection (4.2) we defined the **torsion form**

$$T^a=d^2x^a+\omega^a_b\wedge dx^b\tag{5.1}$$

From (4.2) it follows

$$\omega^a_b\wedge dx^b=(\Gamma^a_{bc}-\Gamma^a_{cb})dx^c\wedge dx^b\tag{5.2}$$

Putting (5.2) and (4.14) into (5.1) we get

$$T^a=T^a_{cb}dx^c\wedge dx^b=-c^a_{cb}dx^c\wedge dx^b+(\Gamma^a_{bc}-\Gamma^a_{cb})dx^c\wedge dx^b\tag{5.3}$$

where we defined **torsion tensor**

$$T^a_{cb}=\Gamma^a_{bc}-\Gamma^a_{cb}-c^a_{cb}\tag{5.4}$$

Commutator of second derivatives has form

$$u^\alpha_{;kl}-u^\alpha_{;lk}=R^\alpha_{\beta lk}u^\beta-T^p_{lk}u^\alpha_{;p}\tag{5.5}$$

From (5.5) it follows that

$$\xi^a_{;cb}-\xi^a_{;bc}=R^a_{dbc}\xi^d-T^p_{bc}\xi^a_{;p}\tag{5.6}$$

In Rieman space we have metric tensor g_{ij} and connection Γ^k_{ij}. One of the features of the Rieman space is symetricity of connection and covariant derivative of metric is 0. This creates close relation between metric and connection. However the connection is not necessarily symmetric and the covariant derivative of the metric tensor may be different from 0. In latter case we introduce the **nonmetricity**

$$Q^{ij}_k=g^{ij}_{;k}=g^{ij}_{,k}+\Gamma^i_{pk}g^{pj}+\Gamma^j_{pk}g^{ip}\tag{5.7}$$

Due to the fact that derivative of the metric tensor is not 0, we cannot raise or lower index of a tensor under derivative as we do it in regular Riemann space. Now this operation changes to next

$$a^i_{;k}=g^{ij}a_{j;k}+g^{ij}_{;k}a_j$$

This equation for the metric tensor gets the following form

$$g^{ab}_{;k} = -g^{ai}g^{bj}g_{ij;k}$$

Definition 5.1. We call a manifold with a torsion and a nonmetricity the **metric-affine manifold** [3]. ☐

If we study a submanifold V_n of a manifold V_{n+m}, we see that the immersion creates the connection $\Gamma^{\alpha}_{\beta\gamma}$ that relates to the connection in manifold as

$$\Gamma^{\alpha}_{\beta\gamma}e^l_{\alpha} = \Gamma^l_{mk}e^m_{\beta}e^k_{\gamma} + \frac{\partial e^l_{\beta}}{\partial u^{\gamma}}$$

Therefore there is no smooth immersion of a space with torsion into the Riemann space.

6. Geometrical Meaning of Torsion

Suppose that a and b are non collinear vectors in a point A (see figure 6.1).

We draw the geodesic L_a through the point A using the vector a as a tangent vector to L_a in the point A. Let τ be the canonical parameter on L_a and

$$\frac{dx^k}{d\tau} = a^k$$

We transfer the vector b along the geodesic L_a from the point A into a point B that defined by any value of the parameter $\tau = \rho > 0$. We mark the result as b'.

We draw the geodesic L_b through the point A using the vector b as a tangent vector to L_b in the point A. Let φ be the canonical parameter on L_b and

$$\frac{dx^k}{d\varphi} = b^k$$

We transfer the vector a along the geodesic L_b from the point A into a point D that defined by any value of the parameter $\varphi = \rho > 0$. We mark the result as a'.

We draw the geodesic $L_{b'}$ through the point B using the vector b' as a tangent vector to $L_{b'}$ in the point B. Let φ' be the canonical parameter on $L_{b'}$ and

$$\frac{dx^k}{d\varphi'} = b'^k$$

We define a point C on the geodesic $L_{b'}$ by parameter value $\varphi' = \rho$

We draw the geodesic $L_{a'}$ through the point D using the vector a' as a tangent vector to $L_{a'}$ in the point D. Let τ' be the canonical parameter on $L_{a'}$ and

$$\frac{dx^k}{d\tau'} = a'^k$$

We define a point E on the geodesic $L_{a'}$ by parameter value $\tau' = \rho$

Formally lines AB and DE as well as lines AD and BC are parallel lines. Lengths of AB and DE are the same as well as lengths of AD and BC are the same. We call this figure a **parallelogram** based on vectors a and b with the origin in the point A.

Theorem 6.1. *Suppose $CBADE$ is a parallelogram with a origin in the point A; then the resulting figure will not be closed [4]. The value of the difference of coordinates of points C and E is equal to surface integral of the torsion over this parallelogram*[3]

$$\Delta_{CE}x^k = \iint T^k_{mn}dx^m \wedge dx^n$$

---

[3] Proof of this statement I found in [5]

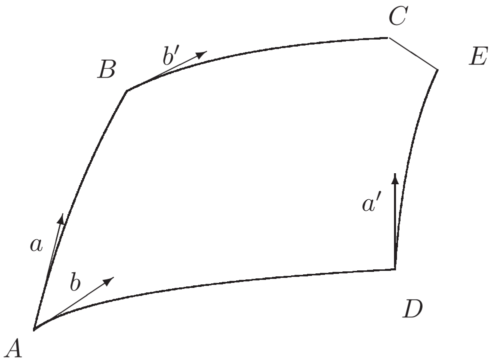

FIGURE 6.1. Meaning of Torsion

Proof. We can find an increase of coordinate x^k along any geodesic as

$$\begin{aligned}\Delta x^k&=\frac{dx^k}{d\tau}\tau+\frac{1}{2}\frac{d^2x^k}{d\tau^2}\tau^2+O(\tau^2)=\\&=\frac{dx^k}{d\tau}\tau-\frac{1}{2}\Gamma^k_{mn}\frac{dx^m}{d\tau}\frac{dx^n}{d\tau}\tau^2+O(\tau^2)\end{aligned}$$

where τ is canonical parameter and we take values of derivatives and components Γ^k_{mn} in the initial point. In particular we have

$$\Delta_{AB}x^k=a^k\rho-\frac{1}{2}\Gamma^k_{mn}(A)a^ma^n\rho^2+O(\rho^2)$$

along the geodesic L_a and

$$\Delta_{BC}x^k=b'^k\rho-\frac{1}{2}\Gamma^k_{mn}(B)b'^mb'^n\rho^2+O(\rho^2)\tag{6.1}$$

along the geodesic $L_{b'}$. Here

$$b'^k=b^k-\Gamma^k_{mn}(A)b^mdx^n+O(dx)\tag{6.2}$$

is the result of parallel transfer of b^k from A to B and

$$dx^k=\Delta_{AB}x^k=a^k\rho\tag{6.3}$$

with precision of small value of first level. Putting (6.3) into (6.2) and (6.2) into (6.1) we will receive

$$\Delta_{BC}x^k=b^k\rho-\Gamma^k_{mn}(A)b^ma^n\rho^2-\frac{1}{2}\Gamma^k_{mn}(B)b^mb^n\rho^2+O(\rho^2)$$

Common increase of coordinate x^K along the way ABC has form

$$\begin{aligned}\Delta_{ABC}x^k&=\Delta_{AB}x^k+\Delta_{BC}x^k=\\&=(a^k+b^k)\rho-\Gamma^k_{mn}(A)b^ma^n\rho^2-\\&-\frac{1}{2}\Gamma^k_{mn}(B)b^mb^n\rho^2-\frac{1}{2}\Gamma^k_{mn}(A)a^ma^n\rho^2+O(\rho^2)\end{aligned}\tag{6.4}$$

Similar way common increase of coordinate x^K along the way ADE has form

$$\Delta_{ADE}x^k=\Delta_{AD}x^k+\Delta_{DE}x^k=$$

$$\begin{aligned}&= (a^k+b^k)\rho - \Gamma^k_{mn}(A)a^m b^n \rho^2 - \\ &-\frac{1}{2}\Gamma^k_{mn}(D)a^m a^n \rho^2 - \frac{1}{2}\Gamma^k_{mn}(A)b^m b^n \rho^2 + O(\rho^2)\end{aligned} \tag{6.5}$$

From (6.4) and (6.5), it follows that

$$\begin{aligned}&\Delta_{ADE}x^k - \Delta_{ABC}x^k = \\ &= \Gamma^k_{mn}(A)b^m a^n \rho^2 + \underline{\frac{1}{2}\Gamma^k_{mn}(B)b^m b^n \rho^2}_{1} + \underline{\frac{1}{2}\Gamma^k_{mn}(A)a^m a^n \rho^2}_{2} - \\ &-\Gamma^k_{mn}(A)a^m b^n \rho^2 - \underline{\frac{1}{2}\Gamma^k_{mn}(D)a^m a^n \rho^2}_{2} - \underline{\frac{1}{2}\Gamma^k_{mn}(A)b^m b^n \rho^2}_{1} + O(\rho^2)\end{aligned}$$

For small enough value of ρ underlined terms annihilate each other and we get integral sum for expression

$$\Delta_{ADE}x^k - \Delta_{ABC}x^k = \iint_\Sigma (\Gamma^k_{nm} - \Gamma^k_{mn})dx^m \wedge dx^n$$

However it is not enough to find the difference

$$\Delta_{ADE}x^k - \Delta_{ABC}x^k$$

to find the difference of coordinates of points C and E. Coordinates may be anholonomic and we have to consider that coordinates along closed loop change (4.15)

$$\Delta x^k = \oint_{ECBADE} dx^k = -\iint_\Sigma c^k_{mn}dx^m \wedge dx^n$$

where c is anholonomity object.

Finally the difference of coordinates of points C and E is

$$\Delta_{CE}x^k = \Delta_{ADE}x^k - \Delta_{ABC}x^k + \Delta x^k = \iint_\Sigma (\Gamma^k_{nm} - \Gamma^k_{mn} - c^k_{mn})dx^m \wedge dx^n$$

Using (5.4) we prove the statement. □

7. RELATION BETWEEN CONNECTION AND METRIC

Now we want to find how we can express connection if we know metric and torsion. According to definition

$$-Q_{kij} = g_{ij;k} = g_{ij,k} - \Gamma^p_{ik}g_{pj} - \Gamma^p_{jk}g_{pi}$$

$$-Q_{kij} = g_{ij,k} - \Gamma^p_{ik}g_{pj} - \Gamma^p_{kj}g_{pi} - S^p_{jk}g_{pi}$$

We move derivative of g and torsion to the left-hand side.

$$g_{ij,k} + Q_{kij} - S^p_{jk}g_{pi} = \Gamma^p_{ik}g_{pj} + \Gamma^p_{kj}g_{pi} \tag{7.1}$$

Changing order of indexes we write two more equations

$$g_{jk,i} + Q_{ijk} - S^p_{ki}g_{pj} = \Gamma^p_{ji}g_{pk} + \Gamma^p_{ik}g_{pj} \tag{7.2}$$

$$g_{ki,j} + Q_{jki} - S^p_{ij}g_{pk} = \Gamma^p_{kj}g_{pi} + \Gamma^p_{ji}g_{pk} \tag{7.3}$$

If we substruct equation (7.1) from sum of equations (7.2) and (7.1) we get

$$g_{ki,j} + g_{jk,i} - g_{ij,k} + Q_{ijk} + Q_{jki} - Q_{kij} - S^p_{ij}g_{pk} - S^p_{ki}g_{pj} + S^p_{jk}g_{pi} = 2\Gamma^p_{ji}g_{pk}$$

Finally we get

$$\Gamma^p_{ji} = \frac{1}{2}g^{pk}(g_{ki,j} + g_{jk,i} - g_{ij,k} + Q_{ijk} + Q_{jki} - Q_{kij} - S^r_{ij}g_{rk} - S^r_{ki}g_{rj} + S^r_{jk}g_{ri})$$

8. Synchronization of Reference Frame

Because an observer uses an orthogonal basis for measurement at each point we can expect that he uses anholonomic coordinates as well. We also see that the time coordinate along a local reference frame is the observer's proper time. Because the reference frame consists of local reference frames, we expect that their proper times are synchronized.

We introduce the **synchronization of reference frame** as the anholonomic time coordinate.

Because synchronization is the anholonomic coordinate it introduces new physical phenomena that we should keep in mind when working with strong gravitational fields or making precise measurements. I describe one of these phenomena below.

9. Anholonomic Coordinates in Central Body Gravitational Field

We will study an observer orbiting around a central body. The results are only estimation and are good when eccentricity is near 0 because we study circular orbits. However, the main goal of this estimation is to show that we have a measurable effect of anholonomity.

We use the Schwarzschild metric of a central body

$$ds^2=\frac{r-r_g}{r}c^2dt^2-\frac{r}{r-r_g}dr^2-r^2d\phi^2-r^2sin^2\phi d\theta^2 \tag{9.1}$$

$$r_g=\frac{2Gm}{c^2}$$

G is the gravitational constant, m is the mass of the central body, c is the speed of light.

Connection in this metric is

$$\Gamma^0_{10}=\frac{r_g}{2r(r-r_g)}$$

$$\Gamma^1_{00}=\frac{r_g(r-r_g)}{2r^3}$$

$$\Gamma^1_{11}=-\frac{r_g}{2r(r-r_g)}$$

$$\Gamma^1_{22}=-(r-r_g)$$

$$\Gamma^1_{33}=-(r-r_g)\sin^2\phi$$

$$\Gamma^2_{12}=-\frac{1}{r}$$

$$\Gamma^2_{33}=-\sin\phi\cos\phi$$

$$\Gamma^3_{13}=-\frac{1}{r}$$

$$\Gamma^3_{23}=\cot\phi$$

I want to show one more way to calculate the Doppler shift. The Doppler shift in gravitational field is well known issue, however the method that I show is useful to better understand physics of gravitational field.

We can describe the movement of photon in gravitational field using its wave vector k^i. The length of this vector is 0; $\frac{k^i}{dx^i}=const$; a trajectory is geodesic and therefore coordinates of this vector satisfy to differential equation

$$dk^i=-\Gamma^i_{kl}k^kdx^l \tag{9.2}$$

We looking for the frequency ω of light and k^0 is proportional ω. Let us consider the radial movement of a photon. In this case wave vector has form $k = (k^0, k^1, 0, 0)$. In the central field with metric (9.1) we can choose

$$k^0 = \frac{\omega}{c}\sqrt{\frac{r}{r-r_g}}$$

$$k^1 = \omega\sqrt{\frac{r-r_g}{r}}$$

$$dt = \frac{k^0}{k^1}dr = \frac{1}{c}\frac{r}{r-r_g}dr$$

Then the equation (9.2) gets form

$$dk^0 = -\Gamma^0_{10}(k^1dt + k^0dr)$$

$$d\left(\frac{\omega}{c}\sqrt{\frac{r}{r-r_g}}\right) = -\frac{r_g\omega}{2r(r-r_g)}\left(\sqrt{\frac{r-r_g}{r}}\frac{r}{r-r_g} + \sqrt{\frac{r}{r-r_g}}\right)\frac{dr}{c}$$

$$d\omega\sqrt{\frac{r}{r-r_g}} - \omega\frac{1}{2}\sqrt{\frac{r-r_g}{r}}\frac{r_gdr}{(r-r_g)^2} = -\frac{r_g\omega dr}{r(r-r_g)}\sqrt{\frac{r}{r-r_g}}$$

$$\frac{d\omega}{\omega} = -\frac{r_g}{2r(r-r_g)}dr$$

$$\ln\omega = \frac{1}{2}\ln\frac{r}{r-r_g} + \ln C$$

If we define $\omega = \omega_0$ when $r = \infty$, we get finally

$$\omega = \omega_0\sqrt{\frac{r}{r-r_g}}$$

9.1. **Time Delay in Central Body Gravitational Field.** We will study orbiting around a central body. The results are only an estimation and are good when eccentricity is near 0 because we study circular orbits. However, the main goal of this estimation is to show that we have a measurable effect of anholonomity.

Let us compare the measurements of two observers. The first observer fixed his position in the gravitational field

$$t = \frac{s}{c}\sqrt{\frac{r}{r-r_g}}$$

$$r = const, \phi = const, \theta = const$$

The second observer orbits the center of the field with constant speed

$$t = s\sqrt{\frac{r}{(r-r_g)c^2 - \alpha^2r^3}}$$

$$\phi = \alpha\ s\sqrt{\frac{r}{(r-r_g)c^2 - \alpha^2r^3}}$$

$$r = const, \theta = const$$

We choose a natural parameter for both observers.

The second observer starts his travel when $s = 0$ and finishes it when returning to the same spatial point. Because ϕ is a cyclic coordinate the second observer finishes his travel when $\phi = 2\pi$. We have at this point

$$s_2 = \frac{2\pi}{\alpha}\sqrt{\frac{(r - r_g)c^2 - \alpha^2 r^3}{r}}$$

$$t = T = \frac{2\pi}{\alpha}$$

The value of the natural parameter for the first observer at this point is

$$s_1 = \frac{2\pi}{\alpha} c\sqrt{\frac{r - r_g}{r}}$$

The difference between their proper times is

$$\Delta s = s_1 - s_2 = \frac{2\pi}{\alpha}\left(c\sqrt{\frac{r - r_g}{r}} - \sqrt{\frac{(r - r_g)c^2 - \alpha^2 r^3}{r}}\right)$$

We have a difference in centimeters. To get this difference in seconds we should divide both sides by c.

$$\Delta t = \frac{2\pi}{\alpha}\left(\sqrt{\frac{r - r_g}{r}} - \sqrt{\frac{r - r_g}{r} - \frac{\alpha^2 r^2}{c^2}}\right)$$

Now we get specific data.

The mass of the Sun is $1.989_{10}33$ g, the Earth orbits the Sun at a distance of $1.495985_{10}13$ cm from its center during 365.257 days. In this case we get $\Delta t = 0.155750625445089$ s. Mercury orbits the Sun at a distance of $5.791_{10}12$ cm from its center during 58.6462 days. In this case we get $\Delta t = 0.145358734930827$ s.

The mass of the Earth is $5.977_{10}27$ g. The spaceship that orbits the Earth at a distance of $6.916_{10}8$ cm from its center during 95.6 mins has $\Delta t = 1.8318_{10} - 6$ s. The Moon orbits the Earth at a distance of $3.84_{10}10$ cm from its center during 27.32 days. In this case we get $\Delta t = 1.372_{10} - 5$ s.

For better presentation I put these data to tables 9.1, 9.2, and 9.3.

Because clocks of first observer show larger time at meeting, first observer estimates age of second one older then real. Hence, if we get parameters of S2 orbit from [1], we get that if first observer estimates age of S2 as 10 Myr then S2 will be .297 Myr younger.

TABLE 9.1. Sun is central body, mass is $1.989_{10}33$ g

Sputnik	Earth	Mercury
distance, cm	$1.495985_{10}13$	$5.791_{10}12$
orbit period, days	365.257	58.6462
Time delay s	0.15575	0.14536

Table 9.2. Earth is central body, mass is $5.977_{10}27$ g

Sputnik	spaceship	Moon
distance, cm	$6.916_{10}8$	$3.84_{10}10$
orbit period	95.6 mins	27.32 days
Time delay, s	$1.8318_{10}-6$	$1.372_{10}-5$

Table 9.3. Sgr A is central body, S2 is sputnik

mass, $M_\odot$	$4.1_{10}6$	$3.7_{10}6$
distance sm	$1.4692_{10}16$	$1.1565_{10}16$
orbit period, years	15.2	15.2
Time delay, min	164.7295	153.8326

10. Lorentz Transformation in Orbital Direction

The reason for the time delay that we estimated above is in Lorentz transformation between stationary and orbiting observers. This means that we have rotation in plain $(e_{(0)}, e_{(2)})$. The basis vectors for stationary observer are

$$e_{(0)} = (\frac{1}{c}\sqrt{\frac{r}{r-a}}, 0, 0, 0)$$

$$e_{(2)} = (0, 0, \frac{1}{r}, 0)$$

We assume that for orbiting observer changes of ϕ and t are proportional and

$$d\phi = \omega dt$$

Unit vector of speed in this case should be proportional to vector

$$(1, 0, \omega, 0) \tag{10.1}$$

The length of this vector is

$$L^2 = \frac{r-a}{r}c^2 - r^2\omega^2 \tag{10.2}$$

We see in this expression very familiar pattern and expect that linear speed of orbiting observer is $V = \omega r$.

However we have to remember that we make measurement in gravitational field and coordinates are just tags to label points in spacetime. This means that we need a legal method to measure speed.

If an object moves from point (t, ϕ) to point $(t + dt, \phi + d\phi)$ we need to measure spatial and time intervals between these points. We assume that in both points there are observers A and B. Observer A sends the same time light signal to B and ball that has angular speed ω. Whatever observer B receives, he sends light signal back to A.

When A receives first signal he can estimate distance to B. When A receives second signal he can estimate how long ball moved to B.

The time of travel of light in both directions is the same. Trajectory of light is determined by equation $ds^2 = 0$. In our case we have

$$\frac{r-r_g}{r}c^2dt^2 - r^2d\phi^2 = 0$$

When light returns back to observer A the change of t is

$$dt=2\sqrt{\frac{r}{r-r_g}}c^{-1}rd\phi$$

The proper time of first observer is

$$ds^2=\frac{r-r_g}{r}c^2 4\frac{r}{r-r_g}c^{-2}r^2d\phi^2$$

Therefore spatial distance is

$$L=rd\phi$$

When object moving with angular speed ω gets to B change of t is $\frac{d\phi}{\omega}$. The proper time at this point is

$$ds^2=\frac{r-r_g}{r}c^2d\phi^2\omega^{-2}$$

$$T=\sqrt{\frac{r-r_g}{r}}\omega^{-1}d\phi$$

Therefore the observer A measures speed

$$V=\frac{L}{T}=\sqrt{\frac{r}{r-r_g}}r\omega$$

We can use speed V as parameter of Lorentz transformation. Then length (10.2) of vector (10.1) is

$$L=\sqrt{\frac{r-r_g}{r}\left(c^2-\frac{r}{r-r_g}r^2\omega^2\right)}=\sqrt{\frac{r-r_g}{r}}c\sqrt{\left(1-\frac{V^2}{c^2}\right)}$$

Therefore time ort of moving observer is

$$e'_{(0)}=\left(\frac{1}{L},0,\frac{\omega}{L},0\right)$$

$$e'_{(0)}=\left(\sqrt{\frac{r}{r-r_g}}c^{-1}\frac{1}{\sqrt{(1-\frac{V^2}{c^2})}},0,\omega\sqrt{\frac{r}{r-r_g}}c^{-1}\frac{1}{\sqrt{(1-\frac{V^2}{c^2})}},0\right)$$

Spatial ort $e'_{(2)}=(A,0,B,0)$ is orthogonal $e'_{(0)}$ and has length -1. Therefore

$$\frac{r-r_g}{r}c^2\frac{1}{L}A-r^2\frac{\omega}{L}B=0 \tag{10.3}$$

$$\frac{r-r_g}{r}c^2A^2-r^2B^2=-1 \tag{10.4}$$

We can express A from (10.3)

$$A=c^{-2}\frac{r}{r-r_g}r^2\omega B$$

and substitute into (10.4)

$$c^{-2}\frac{r}{r-r_g}r^4\omega^2B^2-r^2B^2=-1$$

$$\frac{V^2}{c^2}r^2B^2-r^2B^2=-1$$

Finally spatial ort in direction of movement is

$$e'_{(2)}=\left(c^{-2}\frac{r}{r-r_g}r\omega\frac{1}{\sqrt{1-\frac{V^2}{c^2}}},0,\frac{1}{r}\frac{1}{\sqrt{1-\frac{V^2}{c^2}}},0\right)$$

$$e'_{(2)}=\left(c^{-2}\sqrt{\frac{r}{r-r_g}}\frac{V}{\sqrt{1-\frac{V^2}{c^2}}},0,\frac{1}{r}\frac{1}{\sqrt{1-\frac{V^2}{c^2}}},0\right)$$

Therefore we get transformation

$$\begin{aligned}
{e'}_{(0)}&=\frac{1}{\sqrt{1-\frac{V^2}{c^2}}}e_{(0)}+\frac{V}{c}\frac{1}{\sqrt{1-\frac{V^2}{c^2}}}e_{(2)}\\
{e'}_{(2)}&=\frac{V}{c}\frac{1}{\sqrt{1-\frac{V^2}{c^2}}}e_{(0)}+\frac{1}{\sqrt{1-\frac{V^2}{c^2}}}e_{(2)}
\end{aligned}\tag{10.5}$$

If a stationary observer sends light in a radial direction, the orbiting observer observes Doppler shift

$$\omega'=\frac{\omega}{\sqrt{1-\frac{V^2}{c^2}}}$$

We need to add Doppler shift for gravitational field if the moving observer receives a radial wave that came from infinity. In this case the Doppler shift will take the form

$$\omega'=\sqrt{\frac{r}{r-r_g}}\frac{\omega}{\sqrt{1-\frac{V^2}{c^2}}}$$

We see the estimation for dynamics of star S2 that orbits Sgr A in tables 10.1 and 10.2. The tables are based on two different estimations for mass of Sgr A.

If we get mass Sgr $4.1_{10}6M_\odot$ [1] then in pericentre (distance $1.868_{10}15$ cm) S2 has speed 738767495.4 cm/s and Doppler shift is $\omega'/\omega=1.000628$. In this case we measure length $2.16474\mu m$ for emitted wave with length $2.1661\mu m$ (Br γ). In apocentre (distance $2.769_{10}16cm$) S2 has speed $49839993.28cm/s$ and Doppler shift is $\omega'/\omega=1.0000232$. We measure length $2.166049\mu m$ for the same wave. Difference between two measurements of wave length is $13.098\AA$

If we get mass Sgr $3.7_{10}6M_\odot$ [2] then in pericentre (distance $1.805_{10}15cm$) S2 has speed $713915922.3cm/s$ and Doppler shift is $\omega'/\omega=1.000587$. In this case we measure length $2.16483\mu m$ for emitted wave with length $2.1661\mu m$ (Br γ). In apocentre (distance $2.676_{10}16cm$) S2 has speed $48163414.05cm/s$ and Doppler shift is $\omega'/\omega=1.00002171$. We measure length $2.1666052\mu m$ for the same wave. Difference between two measurements of wave length is $12.232\AA$

Difference between two measurements of wavelength in pericentre is $0.9\AA$. Analyzing this data we can conclude that the use of Doppler shift can help improve estimation of the mass of Sgr A.

11. LORENTZ TRANSFORMATION IN RADIAL DIRECTION

We see that the Lorentz transformation in orbial direction has familiar form. It is very interesting to see what form this transformation has for radial direction. We start from procedure of measurement speed and use coordinate speed v

$$dr=vdt\tag{11.1}$$

Table 10.1. Doppler shift on the Earth of a wave emitted from S2; mass of Sgr A is $4.1_{10}6M_\odot$ [1]

	pericentre	apocentre
distance cm	$1.868_{10}15$	$2.769_{10}16$
speed cm/s	738767495.4	49839993.28
ω'/ω	1.000628	1.0000232
emitted wave $(Br\ \gamma)$ μm	2.1661	2.1661
observed wave μm	2.16474	2.166049

Difference between two measurements of wavelength is $13.098\mathring{A}$

Table 10.2. Doppler shift on the Earth of wave emitted from S2; mass of Sgr A is $3.7_{10}6M_\odot$ [2]

	pericentre	apocentre
distance cm	$1.805_{10}15$	$2.676_{10}16$
speed cm/s	713915922.3	48163414.05
ω'/ω	1.000587	1.00002171
emitted wave $(Br\ \gamma)$ μm	2.1661	2.1661
observed wave μm	2.16483	2.1666052

Difference between two measurements of wavelength is $12.232\mathring{A}$

The time of travel of light in both directions is the same. Trajectory of light is determined by equation $ds^2 = 0$.

$$\frac{r-r_g}{r}c^2dt^2 - \frac{r}{r-r_g}dr^2 = 0$$

When light returns back to observer A the change of t is

$$dt = 2\frac{r}{r-r_g}c^{-1}dr$$

The proper time of observer A is

$$\begin{aligned} ds^2 &= \frac{r-r_g}{r}c^2 4\frac{r^2}{r-r_g{}^2}c^{-2}dr^2 = \\ &= 4\frac{r}{r-r_g}dr^2 \end{aligned}$$

Therefore spatial distance is

$$L = \sqrt{\frac{r}{r-r_g}}dr$$

When object moving with speed (11.1) gets to B change of t is $\frac{dr}{v}$. The proper time of observer A at this point is

$$ds^2 = \frac{r-r_g}{r}c^2dr^2v^{-2}$$

$$T = \sqrt{\frac{r-r_g}{r}}v^{-1}dr$$

Therefore the observer A measures speed

$$V=\frac{L}{T}==\frac{\sqrt{\frac{r}{r-r_g}}dr}{\sqrt{\frac{r-r_g}{r}}v^{-1}dr}=$$
$$=\frac{r}{r-r_g}v$$

Now we are ready to find out Lorentz transformation. The basis vectors for stationary observer are

$$e_{(0)}=\left(\frac{1}{c}\sqrt{\frac{r}{r-r_g}},0,0,0\right)$$
$$e_{(1)}=\left(0,\sqrt{\frac{r-r_g}{r}},0,0\right)$$

Unit vector of speed should be proportional to vector

$$(1,v,0,0) \tag{11.2}$$

The length of this vector is

$$\begin{aligned}L^2&=\frac{r-r_g}{r}c^2-\frac{r}{r-r_g}v^2=\\&=\frac{r-r_g}{r}c^2\left(1-\frac{V^2}{c^2}\right)\end{aligned} \tag{11.3}$$

Therefore time ort of moving observer is

$$\begin{aligned}e'_{(0)}&=\left(\frac{1}{L},\frac{v}{L},0,0\right)=\\&=\left(\sqrt{\frac{r}{r-r_g}}c^{-1}\frac{1}{\sqrt{(1-\frac{V^2}{c^2})}},v\sqrt{\frac{r}{r-r_g}}c^{-1}\frac{1}{\sqrt{(1-\frac{V^2}{c^2})}},0,0\right)\\&=\left(\sqrt{\frac{r}{r-r_g}}c^{-1}\frac{1}{\sqrt{(1-\frac{V^2}{c^2})}},\frac{V}{c}\sqrt{\frac{r-r_g}{r}}\frac{1}{\sqrt{(1-\frac{V^2}{c^2})}},0,0\right)\end{aligned}$$

Spatial ort $e'_{(1)}=(A,B,0,0)$ is orthogonal $e'_{(0)}$ and has length -1. Therefore

$$\frac{r-r_g}{r}c^2\frac{1}{L}A-\frac{r}{r-r_g}\frac{v}{L}B=0 \tag{11.4}$$

$$\frac{r-r_g}{r}c^2A^2-\frac{r}{r-r_g}B^2=-1 \tag{11.5}$$

We can express A from (11.4)

$$A=c^{-2}\frac{r^2}{(r-r_g)^2}vB=c^{-2}\frac{r}{r-r_g}VB$$

and substitute into (11.5)

$$\frac{r-r_g}{r}c^2c^{-4}\frac{r^2}{(r-r_g)^2}V^2B^2-\frac{r}{r-r_g}B^2=-1$$

$$\frac{r}{r-r_g}B^2\left(1-\frac{V^2}{c^2}\right)=1$$
$$B^2=\frac{r-r_g}{r}\frac{1}{1-\frac{V^2}{c^2}}$$
$$B=\sqrt{\frac{r-r_g}{r}}\frac{1}{\sqrt{1-\frac{V^2}{c^2}}}$$
$$A=c^{-2}\frac{r}{r-r_g}V\sqrt{\frac{r-r_g}{r}}\frac{1}{\sqrt{1-\frac{V^2}{c^2}}}$$
$$=c^{-2}V\sqrt{\frac{r}{r-r_g}}\frac{1}{\sqrt{1-\frac{V^2}{c^2}}}$$

Finally spatial ort in direction of movement is

$$e'_{(1)}=\left(c^{-2}V\sqrt{\frac{r}{r-r_g}}\frac{1}{\sqrt{1-\frac{V^2}{c^2}}},\sqrt{\frac{r-r_g}{r}}\frac{1}{\sqrt{1-\frac{V^2}{c^2}}},0,0\right)$$

Therefore we get transformationin in familiar form

$$\begin{aligned}e'_{(0)}&=\frac{1}{\sqrt{1-\frac{V^2}{c^2}}}e_{(0)}+\frac{V}{c}\frac{1}{\sqrt{1-\frac{V^2}{c^2}}}e_{(1)}\\e'_{(1)}&=\frac{V}{c}\frac{1}{\sqrt{1-\frac{V^2}{c^2}}}e_{(0)}+\frac{1}{\sqrt{1-\frac{V^2}{c^2}}}e_{(1)}\end{aligned}\tag{11.6}$$

12. Doppler Shift in Friedman Space

We consider another example in Friedman space. Metric of the space is

$$ds^2=a^2(dt^2-d\chi^2-\sin^2\chi(d\theta^2-\sin^2\theta d\phi^2))$$

for closed model and

$$ds^2=a^2(dt^2-d\chi^2-\sinh^2\chi(d\theta^2-\sin^2\theta d\phi^2))$$

for open one. Connection in this space is (α, β get values 1, 2, 3)

$$\Gamma^0_{00}=\frac{\dot a}{a}$$
$$\Gamma^0_{\alpha\alpha}=-\frac{\dot a}{a^2}g_{\alpha\alpha}$$
$$\Gamma^\alpha_{0\beta}=\frac{\dot a}{a}\delta^\alpha_\beta$$

Because space is homogenius we do not care about direction of light. In this case

$$dk^0=-\Gamma^0_{ij}k^ik^j$$

Because k is isotropic vector tangent to its trajectory we have

$$dx^\alpha=\frac{k^\alpha}{k^0}dt$$

Because $k^0 = \frac{\omega}{a}$, than

$$d\frac{\omega}{a} = -\frac{da}{a^2}\omega + \frac{da}{\omega a} g_{\alpha\alpha} k^\alpha k^\alpha = -2\frac{da}{a^2}\omega$$
$$a d\omega + \omega da = 0$$
$$a\omega = const$$

Therefore when a grows ω becomes smaller and length of waves grows as well.

a grows during light travel through spacetime and this leads to red shift. We observe red shift because geometry changes, but not because galaxies runs away one from other.

Now we want to see how red shift changes with time if initial and final points do not move. For simplicity I will change only χ. Initial value is χ_1 and final value is χ_2. Because $dt = d\chi$ on light trajectory we have

$$\chi = \chi_1 + t - t_1 \quad t_2 = \chi_2 - \chi_1 + t_1$$

Therefore $a(t_1)\omega_1 = a(t_2)\omega_2$. Doppler shift is

$$K(t_1) = \frac{\omega_2}{\omega_1} = \frac{a(t_1)}{a(t_2)}$$

If initial time changes t'1 = t1 + dt then K(t1 + dt) = a(t1 + dt) / a(t2 + dt) Time derivative of K is

$$\dot{K} = \frac{\dot{a}_1 a_2 - a_1 \dot{a}_2}{a_2^2}$$

For closed space $a = \cosh t$. Then $\dot{a} = \sinh t$.

$$\dot{K} = \frac{\sinh t_1 \cosh t_2 - \sinh t_2 \cosh t_1}{\cosh^2 t_2} = \frac{\sinh(t_1 - t_2)}{\cosh^2 t_2}$$

K decreases when t_1 increases.

13. LORENTZ TRANSFORMATION IN FRIEDMAN SPACE

To learn Lorentz transformation in Friedman space I want to use metric in form

$$ds^2 = c^2 dt^2 - a^2(d\chi^2 + b^2(d\theta^2 - \sin^2\theta d\phi^2))$$

Now I have 2 observers. One does not move and has speed $(1, 0, 0, 0)$, and another moves along χ and his speed is $C = (1, v, 0, 0)$ and we assme $V = av$.

Metric is diagonal and coordinates θ, ϕ do not change. We have transformation in plane t, χ.

Unit speed of first observer is

$$e_0 = (\frac{1}{c}, 0, 0, 0)$$

and vector orthonormal this one is

$$e_1 = (0, \frac{1}{a}, 0, 0)$$

The length of vector C is

$$L = \sqrt{c^2 - a^2 v^2} = c\sqrt{1 - \frac{V^2}{c^2}}$$

Therefore unit vector of speed of second observer is

$$e'_0 = (\frac{1}{L}, \frac{v}{L}, 0, 0)$$

We look for vector

$$e'_1=(A,B,0,0)$$

that is orthogonal to vector e'_0. For this we have

$$c^2A^2-a^2B^2=-1 \tag{13.1}$$

$$c^2A\frac{1}{L}-a^2B\frac{v}{L}=0 \tag{13.2}$$

We get from the equation (13.2)

$$A=\frac{a^2}{c^2}vB \tag{13.3}$$

We substitute (13.3) into (13.1) and get

$$B^2(\frac{a^4}{c^2}v^2-a^2)=-1$$

$$B=\frac{1}{a\sqrt{1-\frac{V^2}{c^2}}}$$

Therefore basis of second observer is

$$e'_0=(\frac{1}{c\sqrt{1-\frac{V^2}{c^2}}},\frac{V}{ca\sqrt{1-\frac{V^2}{c^2}}},0,0)$$

$$e'_1=(\frac{V}{c^2\sqrt{1-\frac{V^2}{c^2}}},\frac{1}{a\sqrt{1-\frac{V^2}{c^2}}},0,0)$$

Now we can express e' through e

$$e'_0=\frac{1}{\sqrt{1-\frac{V^2}{c^2}}}e_0+\frac{V}{c}\frac{1}{\sqrt{1-\frac{V^2}{c^2}}}e_1$$

$$e'_1=\frac{V}{c}\frac{1}{\sqrt{1-\frac{V^2}{c^2}}}e_0+\frac{1}{\sqrt{1-\frac{V^2}{c^2}}}e_1$$

14. References

[1] Ghez et al., The First Measurement of Spectral Lines in a Short-Period Star Bound to the Galaxy's Central Black Hole: A Paradox of Youth, ApJL, 586, L127 (2003), eprint arXiv:astro-ph/0302299 (2003)

[2] R. Schödel et al., A star in a 15.2-year orbit around the supermassive black hole at the centre of the Milky Way, Nature 419, 694 (2002)

[3] Eckehard W. Mielke, Affine generalization of the Komar complex of general relativity, Phys. Rev. D 63, 044018 (2001)

[4] F. W. Hehl, P. von der Heyde, G. D. Kerlick, and J. M. Nester, General relativity with spin and torsion: Foundations and prospects, Rev. Mod. Phys. 48, 393 (1976)

[5] G. E. Shilov, Calculus, Multivariable Functions, Moscow, Nauka, 1972

[6] Angelo Tartaglia and Matteo Luca Ruggiero, Angular Momentum Effects in Michelson-Morley Type Experiments, Gen.Rel.Grav. 34, 1371-1382 (2002), eprint arXiv:gr-qc/0110015 (2001)

[7] Yukio Tomozawa, Speed of Light in Gravitational Fields, eprint arXiv:astro-ph/0303047 (2004)

[8] Joao Magueijo, Covariant and locally Lorentz-invariant varying speed of light theories, Phys. Rev. D 62, 103521 (2000), eprint arXiv:gr-qc/0007036 (2000)

[9] Bruce A. Bassett, Stefano Liberati, Carmen Molina-Paris, and Matt Visser, Geometrodynamics of variable-speed-of-light cosmologies, Phys. Rev. D 62, 103518 (2000), eprint arXiv:astro-ph/0001441 (2000)

[10] Lochlainn O'Raifeartaigh and Norbert Straumann, Gauge theory: Historical origins and some modern developments, Rev. Mod. Phys. 72, 1 (2000)

[11] Claus Lämmerzahl, Mark P. Haugan, On the interpretation of Michelson-Morley experiments, Phys. Lett. A282 223-229 (2001), eprint arXiv:gr-qc/0103052 (2001)

[12] Holger Muller et al., Modern Michelson-Morley Experiment using Cryogenic Optical Resonators, Phys. Rev. Lett. 91, 020401 (2003), eprint arXiv:physics/0305117 (2000)

[13] Antonio F. Ranada, Pioneer acceleration and variation of light speed: experimental situation, eprint arXiv:gr-qc/0402120 (2004)

[14] Aleks Kleyn, Basis Manifold, eprint arXiv:math.DG/0412391 (2004)

15. INDEX

anholonomic coordinate 6
anholonomic coordinates of connection 4
anholonomic coordinates of vector 4
anholonomic coordinates on manifold 6
anholonomity object 6

coordinate reference frame 3

G-reference frame 2

holonomic coordinates of connection 4
holonomic coordinates of vector 4

local reference frame 4
Lorentz transformation 4

metric-affine manifold 9

nonmetricity 8

parallelogram 9
pfaffian derivative 3

reference frame in event space 3

synchronization of reference frame 12

torsion form 8
torsion tensor 8

16. Special Symbols and Notations

$a^{(i)}$ anholonomic coordinates of vector 4
a^i holonomic coordinates of vector 4

$\overline{e}^{(k)}$ form of reference frame 3

$e^k_{(i)}$ standard coordinates of reference frame 3
$\overline{e}_{(i)}$ vector field of reference frame 2

$\overline{\overline{e}} =< \overline{e}_{(i)}, i \in I >$ reference frame 2
$\overline{\overline{e}} = (\overline{e}_{(k)}, \overline{e}^{(k)})$ reference frame, extensive definition 3

$x^{(k)}$ anholonomic coordinate 6

$\Gamma^{(k)}_{(i)(j)}$ anholonomic coordinates of connection 4
Γ^k_{ij} holonomic coordinates of connection 4

$c^{(i)}_{(k)(l)}$ anholonomity object 6

$(\overline{\partial}_i, \overline{d}s^i)$ coordinate reference frame 3

$\partial_{(k)}$ derivative $e_{(k)}$ 5

arXiv:gr-qc/0405027v3 27 Jan 2008

Система отсчета в общей теории относительности

Александр Клейн

Аннотация. Система отсчёта в пространстве событий - это непрерывное поле ортонормальных базисов. Каждая система отсчёта снабжена неголономными координатами. Использование неголономных координат позволяет найти относительную скорость двух наблюдателей и соответствующее преобразование Лоренца.

Синхронизация системы отсчёта - это неголономная координата времени. Простые рассчёты показывают, как синхронизация влияет на измерение времени в окрестности Земли.

Измерение эффекта Допплера от звезды, вращающейся вокруг чёрной дыры помогает определить массу чёрной дыры. Согласно наблюдениям Sgr A, если неподвижный наблюдатель оценивает возраст S2 порядка 10 Myr, то эта звезда моложе на 0.297 Myr.

1. Геометрический объект и принцип инвариантности

Принцип инвариантности, рассмотренный в [14], ограничен векторными пространствами и применим только в рамках специальной теории относительности. Наша задача описать конструкции, которые позволяют распространить принцип инвариантности на общую теорию относительности.

Измерение пространственного интервала и временных отрезков является одной из важных задач общей теории относительности. Это физический процесс, который позволяет изучать геометрию в определённой области пространства времени. С точки зрения геометрии, наблюдатель пользуется ортогональным базисом в касательной плоскости как своим измерительным инструментом, так как ортогональный базис приводит к простейшей локальной геометрии. Двигаясь от точки к точке, наблюдатель переносит с собой свой измерительный прибор.

Понятие геометрического объекта тесно связано с физическими величинами, измеряемыми в пространстве времени. Принцип инвариантности позволяет выразить физические законы независимо от выбора базиса. С другой стороны, если мы хотим проверить полученное соотношение в опыте, мы должны зафиксировать измерительный прибор. В нашем случае - это базис. Выбрав базис, мы можем определить координаты геометрического объекта, соответствующего изучаемой физической величине. Следовательно мы можем определить измеряемое значение.

Каждая система отсчёта снабжена неголономными координатами. Например, синхронизация системы отсчёта - это неголономная координата времени. Простые расчёты показывают как синхронизация влияет на измерение времени в окрестности Земли. Измерение эффекта Допплера от звезды, вращающейся вокруг чёрной дыры, помогает определить массу чёрной дыры.

Aleks_Kleyn@MailAPS.org.

Разделы 10 и 11 показывают важность расчётов в ортогональном базисе. Координаты, которыми мы пользуемся в пространстве событий, - это просто метки и расчёты, которые мы выполняем в координатах могут оказаться не надёжными. Например, в статьях [6, 7] авторы определяют координатную скорость света. Это ведёт к неверному ответу и в результате этого к различию скорости света в разных направлениях.

Некоторые авторы используют идею Эйнштейна о переменной скорости света [13]. Тем не менее, Эйнштейн предположил эту идею, когда собирался создать теорию тяготения в пространстве Минковского, и следовательно, он предполагал, что масштаб пространства и времени не меняются. Когда Эйнштейн познакомился с римановой геометрией, он изменил своё мнение и никогда не возвращался к идее о переменной скорости света. Масштаб пространства и времени и скорость света являются связанными в современной теории и мы не можем изменить одну величину без изменения другой.

Некоторые статьи посвящены теории переменной скорости света [8, 9]. Их теория основана на идее, что метрический тензор может быть инвариантен относительно преобразования подобия. Эта идея не нова. Как только Эйнштейн опубликовал общую теории относительности, Вейль предложил свою идею сделать теорию инвариантной относительно конформного преобразования. Тем не менее, Эйнштейн возражал этой идее, так как она разрушала зависимость между расстоянием и собственным временем. Мы можем найти детальный анализ в [10].

Мы имеем тесную связь между скоростью света и единицами длины и времени в специальной и общей теории относительности. Когда мы развиваем новую теорию и обнаруживаем, что скорость света меняется, мы должны спросить себя о причине. Сделали ли мы аккуратное измерение? Имеем ли мы альтернативный путь для обмена информацией и синхронизации системы отсчёта? Меняются ли преобразования между системами отсчёта и образуют ли они группу?

В некоторых моделях фотон может иметь небольшую массу покоя [11]. В этом случае скорость света отлична от максимальной скорости и может зависеть от направления. Недавний эксперимент [12] наложил ограничения на параметры этих моделей.

2. Система отсчёта на многообразии

Мы показали в разделе [14]-5, что многообразие базисов векторного пространства можно отождествить с группой симметрий этого пространства. Нас не интересовали детали строения репера, и изложенная теория может быть обобщена и перенесена на произвольное многообразие. В этом разделе мы обобщаем определение базиса и определяем систему отсчёта на многообразии. В случае пространства событий общей теории относительности это ведёт нас к естественному определению системы отсчёта и преобразования Лоренца.

Когда мы изучаем многообразие $\mathcal{V}$, геометрия касательного пространства является одним из важных факторов. В этом разделе мы предполагаем

- все касательные пространства имеет одну и ту же геометрию;
- касательное пространство является векторным пространством $\mathcal{V}$ конечной размерности n;
- группой симметрии касательного пространства является группа Ли G.

Определение 2.1. Мы будем называть множество $\overline{\overline{e}}=<\overline{e}_{(i)},i\in I>$ векторных полей $\overline{e}_{(i)}$ **G-системой отсчёта на многообразии** $\mathcal{V}$, если для любого $x\in\mathcal{V}$ множество $\overline{\overline{e}}(x)=<\overline{e}_{(i)}(x),i\in I>$ является G-базисом[1] в касательном пространстве T_x.[2] Мы будем пользоваться обозначением $\overline{e}_{(i)}\in\overline{\overline{e}}$, для векторных полей, порождающих G-систему отсчёта $\overline{\overline{e}}$. □

Векторное поле $\overline{a}$ имеет разложение

$$\overline{a}=a^{(i)}\overline{e}_{(i)} \tag{2.1}$$

относительно системы отсчёта $\overline{\overline{e}}$.

Если мы не ограничим определение системы отсчёта группой симметрии, мы можем выбрать систему отсчёта $\overline{\overline{\partial}}=<\overline{\partial}_i>$ в каждой точке многообразия, определённую векторными полями, касательными к линиям $x^i=const$. Это поле базисов мы будем называть **координатной системой отсчёта**. Векторное поле $\overline{a}$ имеет разложение

$$\overline{a}=a^i\overline{\partial}_i \tag{2.2}$$

относительно координатной системы отсчёта. Тогда стандартные координаты системы отсчёта $\overline{\overline{e}}$ имеют вид $e^k_{(i)}$

$$\overline{e}_{(i)}=e^k_{(i)}\overline{\partial}_k \tag{2.3}$$

Так как векторы $\overline{e}_{(i)}$ линейно независимы в каждой точке, матрица $\|e^k_{(i)}\|$ имеет обратную матрицу $\|e^{(i)}_k\|$

$$\overline{\partial}_k=e^{(i)}_k\overline{e}_{(i)} \tag{2.4}$$

Мы также пользуемся более широким определением для системы отсчёта на многообразии, представленное в виде $\overline{\overline{e}}=(\overline{e}_{(k)},\overline{e}^{(k)})$, где мы задаём множество векторное полей $\overline{e}_{(k)}$ и двойственных им форм $\overline{e}^{(k)}$ таких, что

$$\overline{e}^{(k)}(\overline{e}_{(l)})=\delta^{(k)}_{(l)} \tag{2.5}$$

в каждой точке. Формы $\overline{e}^{(k)}$ определены однозначно из (2.5).

Подобным образом мы можем определить координатную систему отсчёта $(\overline{\partial}_i,\overline{d}s^i)$. Эти системы отсчёта связаны отношением

$$\overline{e}_{(k)}=e^i_{(k)}\overline{\partial}_i \tag{2.6}$$

$$\overline{e}^{(k)}=e^{(k)}_i\overline{d}x^i \tag{2.7}$$

Из равенств (2.6), (2.7), (2.5) следует

$$e^{(k)}_i e^i_{(l)}=\delta^{(k)}_{(l)} \tag{2.8}$$

В частности, мы предположим, что мы имеем $GL(n)$-систему отсчёта (∂,dx), порождённый n дифференцируемыми векторными полями ∂_i и 1-формами dx^i, которые определяют поля базисов ∂ и кобазисов dx, дуальных им.

Если задана функция φ on V, то мы определяем **пфаффову производную**

$$d\varphi=\partial_i\varphi dx^i$$

---

[1] Согласно разделу [14]-5 мы можем отождествить базис $\overline{\overline{e}}(x)$ с элементом группы G.

[2] Существование на многообразии G-системы отсчёта требует доказательства в каждом случае.

3. Система отсчёта в пространстве событий

Начиная с этого раздела, мы будем рассматривать ортогональную систему отсчёта $\overline{\overline{e}}=(\overline{e}_{(k)},\overline{e}^{(k)})$ в римановом пространстве с метрическим тензором g_{ij}. Согласно определению, в каждой точке риманова пространства векторные поля ортогональной системы отсчёта удовлетворяют соотношению

$$g_{ij}e^i_{(k)}e^j_{(l)}=g_{(k)(l)}$$

где $g_{(k)(l)}=0$, если $(k)\neq(l)$, и $g_{(k)(k)}=1$ или $g_{(k)(k)}=-1$ в зависимости от сигнатуры метрики.

Мы можем определить **систему отсчёта в пространстве событий** V как $O(3,1)$-систему отсчёта. Для нумерации векторов мы пользуемся индексом $k=0,...,3$. Индекс $k=0$ соответствует времени подобному векторному полю.

Замечание 3.1. Мы можем доказать существование системы отсчёта, пользуясь процедурой ортогонолизации в каждой точке пространства времени. Из той же процедуры мы видим, что координаты базиса непрерывно зависят от точки.

Непрерывное поле времениподобных векторов каждого базиса определяет конгруэнцию линий, касательных этому полю. Мы будем говорить, что каждая из этих линий является мировой линией наблюдателя или **локальной системой отсчёта**. Следовательно, система отсчёта - это множество локальных систем отсчёта. □

Мы определяем **преобразование Лоренца** как преобразование системы отсчёта

$$x'^i=f^i(x^0,x^1,x^2,x^3)$$

$$e'^i_{(k)}=a^i_jb^{(l)}_{(k)}e^j_{(l)} \tag{3.1}$$

где

$$a^i_j=\frac{\partial x'^i}{\partial x'^j}$$

$$\delta_{(i)(l)}b^{(i)}_{(j)}b^{(l)}_{(k)}=\delta_{(j)(k)}$$

Мы будем называть преобразование a^i_j голономной частью и преобразование $b^{(l)}_{(k)}$ неголономной частью.

4. Неголономные координаты

Пусть $E(V,G,\pi)$ - главное расслоение, где V - дифференцируемое многообразие размерности n и класса не меньше, чем 2. Мы также положим, что G - группа симметрии касательной плоскости.

Мы определим форму связности на главном расслоении

$$\omega^L=\lambda^L_Nda^N+\Gamma^L_idx^i\quad\omega=\lambda_Nda^N+\Gamma dx \tag{4.1}$$

Мы называем функции Γ_i компонентами связности.

Если слой является группой $GL(n)$, то связность имеет вид

$$\omega^a_b=\Gamma^a_{bc}dx^c \tag{4.2}$$

$$\Gamma^A_i=\Gamma^a_{bi}$$

Векторное поле $\overline{a}$ имеет два вида координат: **голономные координаты** a^i относительно координатной системы отсчёта и **неголономные координаты**

$a^{(i)}$ относительно системы отсчёта. Эти два вида координат так же следуют отношению

$$a^i(x)=e^i_{(i)}(x)a^{(i)}(x)\tag{4.3}$$

в любой точке x.

Мы можем изучать параллельный перенос векторных полей, пользуясь любой формой координат. Так как (3.1) - линейное преобразование, мы ожидаем, что параллельный перенос в неголономных координатах имеет такое же представление, как в голономных координатах. Таким образом мы запишем

$$da^k=-\Gamma^k_{ij}a^i dx^j$$

$$da^{(k)}=-\Gamma^{(k)}_{(i)(j)}a^{(i)}dx^{(j)}$$

Необходимо установить связь между **голономными координатами связности Γ^k_{ij}** и **неголономными координатами связности $\Gamma^{(k)}_{(i)(j)}$**

$$a^i(x+dx)=a^i(x)+da^i=a^i(x)-\Gamma^i_{kp}a^k(x)dx^p\tag{4.4}$$

$$a^{(i)}(x+dx)=a^{(i)}(x)+da^{(i)}=a^{(i)}(x)-\Gamma^{(i)}_{(k)(p)}a^{(k)}(x)dx^{(p)}\tag{4.5}$$

Предполагая (4.4), (4.5) и (4.3), мы получим

$$\begin{aligned}&a^i(x)-\Gamma^i_{kp}a^k(x)dx^p\\&=e^i_{(i)}(x+dx)\left(a^{(i)}(x)-\Gamma^{(i)}_{(k)(p)}e^{(k)}_i(x)a^i(x)e^{(p)}_p(x)dx^p\right)\end{aligned}\tag{4.6}$$

Из (4.6) следует, что

$$\begin{aligned}\Gamma^{(i)}_{(k)(p)}e^{(k)}_i(x)e^{(p)}_p(x)a^i(x)dx^p&=a^{(i)}(x)-e^{(i)}_i(x+dx)\left(a^i(x)-\Gamma^i_{kp}a^k(x)dx^p\right)\\&=a^i(x)e^{(i)}_i(x)-e^{(i)}_i(x+dx)\left(a^i(x)-\Gamma^i_{kp}a^k(x)dx^p\right)\\&=a^i(x)\left(e^{(i)}_i(x)-e^{(i)}_i(x+dx)\right)+e^{(i)}_j(x)\Gamma^j_{ip}a^i(x)dx^p\\&=e^{(i)}_j(x)\Gamma^j_{ip}a^i(x)dx^p-a^i(x)\frac{\partial e^{(i)}_i(x)}{\partial x^p}dx^p\\&=\left(e^{(i)}_j(x)\Gamma^j_{ip}-\frac{\partial e^{(i)}_i(x)}{\partial x^p}\right)a^i(x)dx^p\end{aligned}$$

Так как $a^i(x)$ и dx^p произвольны, мы имеем

$$\Gamma^{(i)}_{(k)(p)}e^{(k)}_i(x)e^{(p)}_p(x)=e^{(i)}_j(x)\Gamma^j_{ip}-\frac{\partial e^{(i)}_i(x)}{\partial x^p}$$

$$\Gamma^{(i)}_{(k)(p)}=e^i_{(k)}e^p_{(p)}e^{(i)}_j\Gamma^j_{ip}-e^i_{(k)}e^p_{(p)}\frac{\partial e^{(i)}_i}{\partial x^p}\tag{4.7}$$

Мы определим символический оператор

$$\frac{\partial}{\partial x^{(p)}}=e^p_{(p)}\frac{\partial}{\partial x^p}\tag{4.8}$$

Из (2.8) следует

$$e^i_{(l)}\frac{\partial e^{(k)}_i}{\partial x^p}+e^{(k)}_i\frac{\partial e^i_{(l)}}{\partial x^p}=0\tag{4.9}$$

Подставим (4.8) и (4.9) в (4.7)

$$\Gamma^{(i)}_{(k)(p)} = e^i_{(k)} e^p_{(p)} e^{(i)}_j \Gamma^j_{ip} - e^{(i)}_i \frac{\partial e^i_{(k)}}{\partial x^{(p)}} \tag{4.10}$$

Равенство (4.10) показывает некоторое сходство между голономными и неголономными координатами. Мы определим символ $\partial_{(k)}$ для производной вдоль векторных полей $e_{(k)}$

$$\partial_{(k)} = e^i_{(k)} \partial_i$$

Тогда (4.10) принимает форму

$$\Gamma^{(k)}_{(l)(p)} = e^i_{(l)} e^r_{(p)} e^{(k)}_j \Gamma^j_{ir} - e^i_{(l)} \partial_{(p)} e^{(k)}_i$$

Следовательно, когда мы переходим от голономных координат к неголономным, преобразование связности подобно преобразованию при переходе от одной координатной системы к другой. Это приводит нас к модели неголономных координат.

Векторные поля $e_{(k)}$ порождают кривые, определённые дифференциальными уравнениями

$$e^j_{(l)} \frac{\partial t}{\partial x^j} = \delta^{(k)}_{(l)}$$

или символической системой

$$\frac{\partial t}{\partial x^{(l)}} = \delta^{(k)}_{(l)} \tag{4.11}$$

Имея в виду символическую систему (4.11), мы обозначим функционал t посредством $x^{(k)}$ и будем называть его **неголономной координатой**. Мы будем называть обычные координаты голономными.

Отсюда мы можем найти производную и получить

$$\frac{\partial x^{(i)}}{\partial x^k} = e^{(i)}_k \tag{4.12}$$

Необходимое и достаточное условие полной интегрируемости системы (4.12) - это равенство

$$c^{(i)}_{(k)(l)} = 0$$

где мы вводим **объект неголономности**

$$c^{(i)}_{(k)(l)} = e^k_{(k)} e^l_{(l)} \left(\frac{\partial e^{(i)}_k}{\partial x^l} - \frac{\partial e^{(i)}_l}{\partial x^k} \right) \tag{4.13}$$

Следовательно, любая система отсчёта имеет n векторных полей

$$\partial_{(k)} = \frac{\partial}{\partial x^{(k)}} = e^i_{(k)} \partial_i$$

которые имеют коммутатор

$$[\partial_{(i)}, \partial_{(j)}] = \left(e^k_{(i)} \partial_k e^l_{(j)} - e^k_{(j)} \partial_k e^l_{(i)} \right) e^{(m)}_l \partial_{(m)} =$$

$$e^k_{(i)} e^l_{(i)} \left(-\partial_k e^{(m)}_l + \partial_l e^{(m)}_l \right) \partial_{(m)} = c^{(m)}_{(k)(l)} \partial_{(m)}$$

По той же причине мы определяем форму

$$dx^{(k)} = e^{(k)} = e^{(k)}_l dx^l$$

и внешний дифференциал этой формы имеет вид

$$\begin{aligned} d^2x^{(k)} &= d\left(e_i^{(k)}dx^i\right) \\ &= \left(\partial_j e_i^{(k)} - \partial_i e_j^{(k)}\right) dx^i \wedge dx^j \\ &= -c^{(m)}_{(k)(l)} dx^{(k)} \wedge dx^{(l)} \end{aligned} \tag{4.14}$$

Следовательно, когда $c^{(i)}_{(k)(l)} \neq 0$, дифференциал $dx^{(k)}$ не является точным дифференциалом и система (4.12) вообще говоря не может быть интегрируемой. Тем не менее, мы можем построить реальный объект, который моделирует решение. Мы можем изучать, как функция $x^{(i)}$ изменяется вдоль разных кривых. Мы будем называть такие координаты **неголономными координатами на многообразии**.

Замечание 4.1. Функция $x^{(i)}$ является натуральным параметром вдоль кривой потока векторных полей $\overline{e}_{(i)}$. Пример такой функции мы рассмотрим в разделе 8. Собственное время определено вдоль мировой линии локальной системы отсчёта. Как мы видели в замечании 3.1 всё пространство пронизано мировыми линиями локальных систем. Чтобы собственное время локальных систем могло быть временем системы отсчёта, мы ожидаем, что собственное время непрерывно изменяется от точки к точке. Для синхронизации часов локальных систем отсчёта мы пользуемся классической процедурой обмена световыми сигналами.

С точки зрения математики – это проблема интегрирования дифференциальной формы. Тем не менее, изменение функции вдоль петли имеет вид

$$\begin{aligned} \Delta x^{(i)} &= \oint dx^{(i)} \\ &= \int\int c^{(i)}_{(k)(l)} dx^{(k)} \wedge dx^{(l)} \\ &= \int\int c^{(i)}_{(k)(l)} e_k^{(k)} e_l^{(l)} dx^k \wedge dx^l \end{aligned} \tag{4.15}$$

На первый взгляд возникает ощущение, что нельзя синхронизировать часы, чего мы не наблюдаем на практике. Мы допускаем, что синхронизация возможна до тех пор, пока мы определяем время вдоль незамкнутых кривых. Синхронизация нарушается, когда мы пытаемся синхронизировать часы вдоль замкнутой кривой.

Это означает неоднозначность определения неголономной координаты. □

Начиная с этого места, мы не будем делать различия между голономными и неголономными координатами. Мы так же будем обозначать $b^{(l)}_{(k)}$ как $a^{-1}{}^{(l)}_{(k)}$ в преобразовании Лоренца (3.1).

Хотя форма $dx^{(k)}$ не является точным дифференциалом, нетрудно убедиться, что форма $d^2x^{(k)}$ является внешним дифференциалом формы $dx^{(k)}$. Следовательно,

$$d^3x^{(k)} = 0 \tag{4.16}$$

Мы можем представить внешний дифференциал формы, записанной в неголономных координатах, в виде

$$\begin{aligned}
&d(a_{(i_1)\dots(i_n)}dx^{(i_1)}\wedge\dots\wedge dx^{(i_n)})\\
=&a_{(i_1)\dots(i_n),p}dx^p\wedge dx^{(i_1)}\wedge\dots\wedge dx^{(i_n)}\\
-&a_{(i_1)\dots(i_n)}ddx^{(i_1)}\wedge\dots\wedge dx^{(i_n)}-\dots-(-1)^{n-1}a_{(i_1)\dots(i_n)}dx^{(i_1)}\wedge\dots\wedge ddx^{(i_n)}\\
=&a_{(i_1)\dots(i_n),(p)}e^{(p)}_p e^p_{(r)}dx^{(r)}\wedge dx^{(i_1)}\wedge\dots\wedge dx^{(i_n)}\\
-&a_{(i_1)\dots(i_n)}c^{(i_1)}_{(p)(r)}dx^{(p)}\wedge dx^{(r)}\wedge\dots\wedge dx^{(i_n)}-\dots\\
-&(-1)^{n-1}a_{(i_1)\dots(i_n)}dx^{(i_1)}\wedge\dots\wedge c^{(i_n)}_{(p)(r)}dx^{(p)}\wedge dx^{(r)}\\
=&(a_{(i_1)\dots(i_n),(p)}-a_{(r)\dots(i_n)}c^{(r)}_{(p)(i_1)}-\dots-a_{(i_1)\dots(r)}c^{(r)}_{(p)(i_n)})dx^{(p)}\wedge dx^{(i_1)}\wedge\dots\wedge dx^{(i_n)}
\end{aligned}$$

В случае формы $d^3x^{(k)}$ мы получим равенство

$$\begin{aligned}
&d(c^{(k)}_{(i)(j)}dx^{(i)}\wedge dx^{(j)})\\
&=(c^{(k)}_{(i)(j),(p)}-c^{(k)}_{(r)(j)}c^{(r)}_{(p)(i)}-c^{(k)}_{(i)(r)}c^{(r)}_{(p)(j)})dx^{(p)}\wedge dx^{(i)}\wedge dx^{(j)}
\end{aligned}\tag{4.17}$$

Из равенств (4.16) и (4.17) следует

$$(c^{(k)}_{(i)(j),(p)}-c^{(k)}_{(r)(j)}c^{(r)}_{(p)(i)}-c^{(k)}_{(i)(r)}c^{(r)}_{(p)(j)})dx^{(p)}\wedge dx^{(i)}\wedge dx^{(j)}=0\tag{4.18}$$

Нетрудно убедиться, что

$$\begin{aligned}
&(-c^{(k)}_{(r)(j)}c^{(r)}_{(p)(i)}-c^{(k)}_{(i)(r)}c^{(r)}_{(p)(j)})dx^{(i)}\wedge dx^{(j)}\\
&=(-c^{(k)}_{(r)(j)}c^{(r)}_{(p)(i)}+c^{(k)}_{(r)(i)}c^{(r)}_{(p)(j)})dx^{(i)}\wedge dx^{(j)}\\
&=-2c^{(k)}_{(r)(j)}c^{(r)}_{(p)(i)}dx^{(i)}\wedge dx^{(j)}
\end{aligned}\tag{4.19}$$

Подставив (4.19) в (4.18), получим

$$(c^{(k)}_{(i)(j),(p)}-2c^{(k)}_{(r)(j)}c^{(r)}_{(p)(i)})dx^{(p)}\wedge dx^{(i)}\wedge dx^{(j)}=0\tag{4.20}$$

Из (4.20) следует

$$\begin{aligned}
&c^{(k)}_{(i)(j),(p)}+c^{(k)}_{(j)(p),(i)}+c^{(k)}_{(p)(i),(j)}\\
&=2c^{(k)}_{(r)(j)}c^{(r)}_{(p)(i)}+2c^{(k)}_{(r)(p)}c^{(r)}_{(i)(j)}+2c^{(k)}_{(r)(i)}c^{(r)}_{(j)(p)}
\end{aligned}\tag{4.21}$$

Мы определим форму кривизны для связности (4.1)

$$\Omega=d\omega+[\omega,\omega]$$

$$\Omega^D=d\omega^D+C^D_{AB}\omega^A\wedge\omega^B=R^D_{ij}dx^i\wedge dx^j$$

где мы определяем объект кривизны

$$R^D_{ij}=\partial_i\Gamma^D_j-\partial_j\Gamma^D_i+C^D_{AB}\Gamma^A_i\Gamma^B_j+\Gamma^D_k c^k_{ij}$$

Форма кривизны для связности (4.2) is

$$\Omega^a_c=d\omega^a_c+\omega^a_b\wedge\omega^b_c\tag{4.22}$$

где мы определим объект кривизны

$$R^D_{ij}=R^a_{bij}=\partial_i\Gamma^a_{bj}-\partial_j\Gamma^a_{bi}+\Gamma^a_{ci}\Gamma^c_{bj}-\Gamma^a_{cj}\Gamma^c_{bi}+\Gamma^a_{bk}c^k_{ij}\tag{4.23}$$

Мы определим тензор Ричи

$$R_{bj}=R^a_{baj}=\partial_a\Gamma^a_{bj}-\partial_j\Gamma^a_{ba}+\Gamma^a_{ca}\Gamma^c_{bj}-\Gamma^a_{cj}\Gamma^c_{ba}+\Gamma^a_{bk}c^k_{aj}$$

5. МЕТРИКО-АФФИННОГО МНОГООБРАЗИЕ

В случае связности (4.2) мы определим **форму кручение**

$$T^a = d^2x^a + \omega^a_b \wedge dx^b \tag{5.1}$$

Из (4.2) следует

$$\omega^a_b \wedge dx^b = (\Gamma^a_{bc} - \Gamma^a_{cb})dx^c \wedge dx^b \tag{5.2}$$

Подставляя (5.2) и (4.14) в (5.1) мы получим

$$T^a = T^a_{cb}dx^c \wedge dx^b = -c^a_{cb}dx^c \wedge dx^b + (\Gamma^a_{bc} - \Gamma^a_{cb})dx^c \wedge dx^b \tag{5.3}$$

где мы определили **тензор кручение**

$$T^a_{cb} = \Gamma^a_{bc} - \Gamma^a_{cb} - c^a_{cb} \tag{5.4}$$

Коммутатор вторых производных имеет вид

$$u^\alpha_{;kl} - u^\alpha_{;lk} = R^\alpha_{\beta lk}u^\beta - T^p_{lk}u^\alpha_{;p} \tag{5.5}$$

Из (5.5) следует, что

$$\xi^a_{;cb} - \xi^a_{;bc} = R^a_{dbc}\xi^d - T^p_{bc}\xi^a_{;p} \tag{5.6}$$

В римановом пространстве мы have metric tensor g_{ij} и связность Γ^k_{ij}. Одно из свойств риманова пространства - это симметрия связности и равенство нулю ковариантной производной метрики. Это порождает тесную связь между метрикой и связностью. However связность is not necessarily symmetric и ковариантная производная метрического тензора может быть отлична от 0. В последнем случае мы вводим **неметричность**

$$Q^{ij}_k = g^{ij}_{;k} = g^{ij}_{,k} + \Gamma^i_{pk}g^{pj} + \Gamma^j_{pk}g^{ip} \tag{5.7}$$

Так как производная метрического тензора не равна 0, мы не можем поднимать или опускать индекс тензора внутри производной как мы это делаем в обычном римановом пространстве. Теперь эта операция принимает следующий вид

$$a^i_{;k} = g^{ij}a_{j;k} + g^{ij}_{;k}a_j$$

Это равенство для метрического тензора принимает следующий вид

$$g^{ab}_{;k} = -g^{ai}g^{bj}g_{ij;k}$$

Определение 5.1. Мы будем называть многообразие с кручением и неметричностью **метрико-аффинным многообразием** [3]. ☐

Если мы изучаем подмногообразие V_n многообразия V_{n+m}, мы видим, что имерсия порождает связность $\Gamma^\alpha_{\beta\gamma}$, которая связана со связностью в многообразии соотношением

$$\Gamma^\alpha_{\beta\gamma}e^l_\alpha = \Gamma^l_{mk}e^m_\beta e^k_\gamma + \frac{\partial e^l_\beta}{\partial u^\gamma}$$

Следовательно, не существует непрерывного вложения пространства с кручением в риманово пространство.

6. ГЕОМЕТРИЧЕСКИЙ СМЫСЛ КРУЧЕНИЯ

Предположим, что a и b - неколинеарные векторы в точке A (см. фиг. 6.1).

Мы проведём геодезическую L_a через точку A, используя вектор a как касательный вектор к L_a в точке A. Пусть τ - канонический параметр на L_a и

$$\frac{dx^k}{d\tau}=a^k$$

Мы перенесём вектор b вдоль геодезической L_a из точки A в точку B, определённую значением параметра $\tau=\rho>0$. Мы обозначим результат b'.

Мы проведём геодезическую L_b через точку A, используя вектор b как касательный вектор к L_b в точке A. Пусть φ - канонический параметр на L_b и

$$\frac{dx^k}{d\varphi}=b^k$$

Мы перенесём вектор a вдоль геодезической L_b из точки A в точку D, определённую значением параметра $\varphi=\rho>0$. Мы обозначим результат a'.

Мы проведём геодезическую $L_{b'}$ через точку B, используя вектор b' как касательный вектор к $L_{b'}$ в точке B. Пусть φ' - канонический параметр на $L_{b'}$ и

$$\frac{dx^k}{d\varphi'}=b'^k$$

Мы определим точку C на геодезической $L_{b'}$ значением параметра $\varphi'=\rho$

Мы проведём геодезическую $L_{a'}$ через точку D, используя вектор a' как касательный вектор к $L_{a'}$ в точке D. Пусть τ' - канонический параметр на $L_{a'}$ и

$$\frac{dx^k}{d\tau'}=a'^k$$

Мы определим точку E на геодезической $L_{a'}$ значением параметра $\tau'=\rho$

Формально линии AB и DE так же, как линии AD и BC, параллельны. Длины отрезков AB и DE равны так же, как длины отрезков AD и BC равны. Мы называем такую фигуру **параллелограммом**, построенным на векторах a и b с вершиной в точке A.

Теорема 6.1. *Предположим $CBADE$ - параллелограм с вершиной в точке A; тогда построенная фигура не будет замкнута [4]. Величина различия координат точек C и E равна поверхностному интегралу кручения над этим параллелограммом*[3]

$$\Delta_{CE}x^k=\iint T^k_{mn}dx^m\wedge dx^n$$

Доказательство. Мы можем найти приращение координаты x^k вдоль геодезической в виде

$$\begin{aligned}\Delta x^k&=\frac{dx^k}{d\tau}\tau+\frac{1}{2}\frac{d^2x^k}{d\tau^2}\tau^2+O(\tau^2)=\\&=\frac{dx^k}{d\tau}\tau-\frac{1}{2}\Gamma^k_{mn}\frac{dx^m}{d\tau}\frac{dx^n}{d\tau}\tau^2+O(\tau^2)\end{aligned}$$

где τ - канонический параметр и мы вычисляем производные и компоненты Γ^k_{mn} в начальной точке. В частности

$$\Delta_{AB}x^k=a^k\rho-\frac{1}{2}\Gamma^k_{mn}(A)a^ma^n\rho^2+O(\rho^2)$$

---

[3] Доказательство этого утверждения я нашёл в [5]

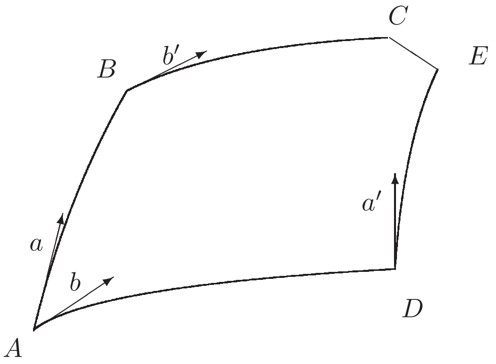

Рис. 6.1. Meaning of Torsion

вдоль геодезической L_a и

$$\Delta_{BC}x^k = b'^k\rho - \frac{1}{2}\Gamma^k_{mn}(B)b'^m b'^n\rho^2 + O(\rho^2) \tag{6.1}$$

вдоль геодезической $L_{b'}$. Здесь

$$b'^k = b^k - \Gamma^k_{mn}(A)b^m dx^n + O(dx) \tag{6.2}$$

результат параллельного переноса b^k из A в B и

$$dx^k = \Delta_{AB}x^k = a^k\rho \tag{6.3}$$

с точностью до малой первого порядка. Подставляя (6.3) в (6.2) и (6.2) в (6.1), мы получим

$$\Delta_{BC}x^k = b^k\rho - \Gamma^k_{mn}(A)b^m a^n\rho^2 - \frac{1}{2}\Gamma^k_{mn}(B)b^m b^n\rho^2 + O(\rho^2)$$

Общее приращение координаты x^K вдоль пути ABC имеет вид

$$\begin{gathered}\Delta_{ABC}x^k = \Delta_{AB}x^k + \Delta_{BC}x^k = \\ = (a^k + b^k)\rho - \Gamma^k_{mn}(A)b^m a^n\rho^2 - \\ -\frac{1}{2}\Gamma^k_{mn}(B)b^m b^n\rho^2 - \frac{1}{2}\Gamma^k_{mn}(A)a^m a^n\rho^2 + O(\rho^2)\end{gathered} \tag{6.4}$$

Аналогично общее приращение координаты x^K вдоль пути ADE имеет вид

$$\begin{gathered}\Delta_{ADE}x^k = \Delta_{AD}x^k + \Delta_{DE}x^k = \\ = (a^k + b^k)\rho - \Gamma^k_{mn}(A)a^m b^n\rho^2 - \\ -\frac{1}{2}\Gamma^k_{mn}(D)a^m a^n\rho^2 - \frac{1}{2}\Gamma^k_{mn}(A)b^m b^n\rho^2 + O(\rho^2)\end{gathered} \tag{6.5}$$

Из (6.4) и (6.5) следует, что

$$\begin{gathered}\Delta_{ADE}x^k - \Delta_{ABC}x^k = \\ = \Gamma^k_{mn}(A)b^m a^n\rho^2 + \underline{\frac{1}{2}\Gamma^k_{mn}(B)b^m b^n\rho^2}_{1} + \underline{\frac{1}{2}\Gamma^k_{mn}(A)a^m a^n\rho^2}_{2} - \\ -\Gamma^k_{mn}(A)a^m b^n\rho^2 - \underline{\frac{1}{2}\Gamma^k_{mn}(D)a^m a^n\rho^2}_{2} - \underline{\frac{1}{2}\Gamma^k_{mn}(A)b^m b^n\rho^2}_{1} + O(\rho^2)\end{gathered}$$

Для достаточно малого значения ρ подчёркнутые слагаемые взаимно уничтожаются и мы получаем интегральную сумму для выражения

$$\Delta_{ADE}x^k - \Delta_{ABC}x^k = \iint_\Sigma (\Gamma^k_{nm} - \Gamma^k_{mn}) dx^m \wedge dx^n$$

Однако недостаточно найти разность

$$\Delta_{ADE}x^k - \Delta_{ABC}x^k$$

чтобы найти разность координат точек C и E. Координаты могут быть неголономными и мы должны учесть, что координаты вдоль замкнутого пути изменяются (4.15)

$$\Delta x^k = \oint_{ECBADE} dx^k = -\iint_\Sigma c^k_{mn} dx^m \wedge dx^n$$

где c - объект неголономности.

Окончательно разность координат точек C и E имеет вид

$$\Delta_{CE}x^k = \Delta_{ADE}x^k - \Delta_{ABC}x^k + \Delta x^k = \iint_\Sigma (\Gamma^k_{nm} - \Gamma^k_{mn} - c^k_{mn}) dx^m \wedge dx^n$$

Используя (5.4), мы доказали утверждение. □

7. Соотношение между связностью и метрикой

Сейчас мы хотим найти, как мы можем выразить связность, если известны метрика и кручение. Согласно определению

$$-Q_{kij} = g_{ij;k} = g_{ij,k} - \Gamma^p_{ik} g_{pj} - \Gamma^p_{jk} g_{pi}$$

$$-Q_{kij} = g_{ij,k} - \Gamma^p_{ik} g_{pj} - \Gamma^p_{kj} g_{pi} - S^p_{jk} g_{pi}$$

Перенесём производную g и кручение в левую часть.

$$g_{ij,k} + Q_{kij} - S^p_{jk} g_{pi} = \Gamma^p_{ik} g_{pj} + \Gamma^p_{kj} g_{pi} \tag{7.1}$$

Меняя порядок индексов, мы запишем ещё два уравнения

$$g_{jk,i} + Q_{ijk} - S^p_{ki} g_{pj} = \Gamma^p_{ji} g_{pk} + \Gamma^p_{ik} g_{pj} \tag{7.2}$$

$$g_{ki,j} + Q_{jki} - S^p_{ij} g_{pk} = \Gamma^p_{kj} g_{pi} + \Gamma^p_{ji} g_{pk} \tag{7.3}$$

Если мы вычтем равенство (7.1) из суммы равенств (7.2) и (7.1), то мы получим

$$g_{ki,j} + g_{jk,i} - g_{ij,k} + Q_{ijk} + Q_{jki} - Q_{kij} - S^p_{ij} g_{pk} - S^p_{ki} g_{pj} + S^p_{jk} g_{pi} = 2\Gamma^p_{ji} g_{pk}$$

Окончательно мы получаем

$$\Gamma^p_{ji} = \frac{1}{2} g^{pk} (g_{ki,j} + g_{jk,i} - g_{ij,k} + Q_{ijk} + Q_{jki} - Q_{kij} - S^r_{ij} g_{rk} - S^r_{ki} g_{rj} + S^r_{jk} g_{ri})$$

8. Синхронизация системы отсчёта

Так как наблюдатель пользуется ортогональным базисом для измерения в каждой точке, мы можем ожидать, что он также пользуется неголономными координатами. Мы так же видим, что координата времени вдоль локальной системы отсчёта является собственным временем наблюдателя. Так как система отсчёта состоит из локальных систем отсчёта, мы ожидаем, что их собственные времена синхронизированы.

Мы определяем **синхронизацию системы отсчёта** как неголономную координату времени.

Так как синхронизация - это неголономная координата, это порождает новые физические явления, которые мы должны иметь в виду, когда работаем с сильными гравитационными полями или выполняем точные измерения. Ниже я опишу одно из этих явлений.

9. Неголономные координаты в гравитационном поле центрального тела

Мы будем изучать наблюдателя, вращающегося вокруг центрального тела. Результаты оценочны и хороши, когда эксцентриситет около 0, так как мы будем изучать круговую орбиту. Тем не менее, основная цель этой оценки - показать, что мы имеем измеримое действие неголономности.

Мы пользуемся метрикой Шварцшильда для центрального тела

$$ds^2=\frac{r-r_g}{r}c^2dt^2-\frac{r}{r-r_g}dr^2-r^2d\phi^2-r^2sin^2\phi d\theta^2 \tag{9.1}$$

$$r_g=\frac{2Gm}{c^2}$$

G - гравитационная константа, m - масса центрального тела, c - скорость света.

Эта метрика имеет связность

$$\Gamma^0_{10}=\frac{r_g}{2r(r-r_g)}$$

$$\Gamma^1_{00}=\frac{r_g(r-r_g)}{2r^3}$$

$$\Gamma^1_{11}=-\frac{r_g}{2r(r-r_g)}$$

$$\Gamma^1_{22}=-(r-r_g)$$

$$\Gamma^1_{33}=-(r-r_g)\sin^2\phi$$

$$\Gamma^2_{12}=-\frac{1}{r}$$

$$\Gamma^2_{33}=-\sin\phi\cos\phi$$

$$\Gamma^3_{13}=-\frac{1}{r}$$

$$\Gamma^3_{23}=\cot\phi$$

Я хочу показать ещё один способ рассчёта эффекта Допплера. Эффект Допплера в гравитационном поле является хорошо изученным явлением, однако метод, который я покажу полезен, чтобы лучше понять физику гравитационного поля.

Мы можем описать движение фотона в гравитационном поле, пользуясь его волновым вектором k^i. Длина этого вектора равна 0; $\frac{k^i}{dx^i} = const$; траектория является геодезической, и следовательно, координаты этого вектора удовлетворяют дифференциальному уравнению

$$dk^i = -\Gamma^i_{kl} k^k dx^l \tag{9.2}$$

Мы ищем частоту ω света и k^0 пропорционально ω. Рассмотрим радиальное движение фотона. В этом случае волновой вектор имеет вид $k = (k^0, k^1, 0, 0)$. В центральном поле с метрикой (9.1) мы можем выбрать

$$k^0 = \frac{\omega}{c}\sqrt{\frac{r}{r-r_g}}$$

$$k^1 = \omega\sqrt{\frac{r-r_g}{r}}$$

$$dt = \frac{k^0}{k^1}dr = \frac{1}{c}\frac{r}{r-r_g}dr$$

Тогла уравнение (9.2) принимает вил

$$dk^0 = -\Gamma^0_{10}(k^1 dt + k^0 dr)$$

$$d\left(\frac{\omega}{c}\sqrt{\frac{r}{r-r_g}}\right) = -\frac{r_g\omega}{2r(r-r_g)}\left(\sqrt{\frac{r-r_g}{r}}\frac{r}{r-r_g} + \sqrt{\frac{r}{r-r_g}}\right)\frac{dr}{c}$$

$$d\omega\sqrt{\frac{r}{r-r_g}} - \omega\frac{1}{2}\sqrt{\frac{r-r_g}{r}}\frac{r_g dr}{(r-r_g)^2} = -\frac{r_g\omega dr}{r(r-r_g)}\sqrt{\frac{r}{r-r_g}}$$

$$\frac{d\omega}{\omega} = -\frac{r_g}{2r(r-r_g)}dr$$

$$\ln\omega = \frac{1}{2}\ln\frac{r}{r-r_g} + \ln C$$

Если мы определим $\omega = \omega_0$, когда $r = \infty$, мы получим окончательно

$$\omega = \omega_0\sqrt{\frac{r}{r-r_g}}$$

10. ЗАДЕРЖКА ВРЕМЕНИ В ГРАВИТАЦИОННОМ ПОЛЕ ЦЕНТРАЛЬНОГО ТЕЛА

Мы изучим вращение вокруг центрального тела. Результаты являются только оценкой и хороши, когда эксцентриситет около 0, так как мы изучаем круговые орбиты. Основная задача этой оценки - показать, что мы имеем измеримый эффект неголономности.

Давайте сравним измерения двух наблюдателей. Первый наблюдатель зафиксировал своё положение в гравитационном поле

$$t = \frac{s}{c}\sqrt{\frac{r}{r-r_g}}$$

$$r = const, \phi = const, \theta = const$$

Второй наблюдатель вращается вокруг центра поля с постоянной скоростью

$$t = s\sqrt{\frac{r}{(r-r_g)c^2 - \alpha^2 r^3}}$$

$$\phi = \alpha\ s\sqrt{\frac{r}{(r-r_g)c^2-\alpha^2 r^3}}$$

$$r = const, \theta = const$$

Мы выберем натуральный параметр для обоих наблюдателей.

Второй наблюдатель начинает своё путешествие, когда $s = 0$, и завершает его, когда возвращается к той же точке пространства. Так как ϕ - циклическая координата, второй наблюдатель завершает своё путешествие, когда $\phi = 2\pi$. В этой точке мы имеем

$$s_2 = \frac{2\pi}{\alpha}\sqrt{\frac{(r-r_g)c^2-\alpha^2 r^3}{r}}$$

$$t = T = \frac{2\pi}{\alpha}$$

Значение натурального параметра первого наблюдателя в этой точке

$$s_1 = \frac{2\pi}{\alpha}c\sqrt{\frac{r-r_g}{r}}$$

Разница между их собственными временами

$$\Delta s = s_1 - s_2 = \frac{2\pi}{\alpha}\left(c\sqrt{\frac{r-r_g}{r}} - \sqrt{\frac{(r-r_g)c^2-\alpha^2 r^3}{r}}\right)$$

Мы определили разницу в сантиметрах. Чтобы получить разницу в секундах, мы должны делить обе части на c.

$$\Delta t = \frac{2\pi}{\alpha}\left(\sqrt{\frac{r-r_g}{r}} - \sqrt{\frac{r-r_g}{r} - \frac{\alpha^2 r^2}{c^2}}\right)$$

Перейдём к конкретным данным.

Масса Солнца равна $1.989_{10}33$ г, Земля вращается вокруг Солнца на расстоянии $1.495985_{10}13$ см от его центра напротяжение 365.257 дней. В этом случае мы получим $\Delta t = 0.155750625445089$ сек. Меркурий вращается вокруг Солнца на расстоянии $5.791_{10}12$ см от его центра напротяжение 58.6462 дней. В этом случае мы получим $\Delta t = 0.145358734930827$ сек.

Масса Земли равна $5.977_{10}27$ г. Космический корабль, который вращается вокруг Земли на расстоянии $6.916_{10}8$ см от его центра напротяжение 95.6 мин имеет $\Delta t = 1.8318_{10} - 6$ сек. Луна вращается вокруг Земли на расстоянии $3.84_{10}10$ см от его центра напротяжение 27.32 дней. В этом случае мы получим $\Delta t = 1.372_{10} - 5$ сек.

Для лучшего представления я поместил эти данные в таблицы 10.1, 10.2, и 10.3.

Так как часы первого наблюдателя в момент встречи показывают большее значение, он оценивает возраст второго наблюдателя старше реального. Так, если взять параметры орбиты S2 из [1], то мы получим, что за 10 Myr S2 будет моложе на .297 Myr по сравнению с оценкой неподвижного наблюдателя.

11. Преобразование Лоренца в орбитальном направлении

Причина задержки времени, которую мы оценили выше, находится в преобразовании Лоренца между стационарным и вращающимся наблюдателями.

Таблица 10.1. Солнце - центральное тело, масса - $1.989_{10}33$ г

спутник	Земля	Меркурий
расстояние, см	$1.495985_{10}13$	$5.791_{10}12$
период вращения, дней	365.257	58.6462
задержка времени, сек	0.15575	0.14536

Таблица 10.2. Земля - центральное тело, масса - $5.977_{10}27$ г

спутник	космический корабль	Луна
расстояние, см	$6.916_{10}8$	$3.84_{10}10$
период вращения	95.6 mins	27.32 дней
задержка времени, сек	$1.8318_{10}-6$	$1.372_{10}-5$

Таблица 10.3. Sgr A - центральное тело, S2 - спутник

масса, $M_\odot$	$4.1_{10}6$	$3.7_{10}6$
расстояние, см	$1.4692_{10}16$	$1.1565_{10}16$
период вращения, лет	15.2	15.2
задержка времени, мин	164.7295	153.8326

Это значит, что мы имеем вращение в плоскости $(e_{(0)}, e_{(2)})$. Базисные вектора для стационарного наблюдателя - это

$$e_{(0)} = (\frac{1}{c}\sqrt{\frac{r}{r-a}}, 0, 0, 0)$$

$$e_{(2)} = (0, 0, \frac{1}{r}, 0)$$

Мы предположим, что для вращающегося наблюдателя изменение ϕ и t пропорциональны и

$$d\phi = \omega dt$$

Единичный вектор скорости в этом случае должен быть пропорционален вектору

$$(1, 0, \omega, 0) \tag{11.1}$$

Длина этого вектора

$$L^2 = \frac{r-a}{r}c^2 - r^2\omega^2 \tag{11.2}$$

Мы видим в этом выражении очень знакомый узор и ожидаем, что линейная скорость вращающегося наблюдателя $V = \omega r$.

Тем не менее, мы должны помнить, что мы выполняем измерение в гравитационном поле и координаты являются лишь ярлыками для разметки точек в пространстве времени. Это значит, что нам нужен корректный метод для измерения скорости.

Если объект движется от точки (t, ϕ) к точке $(t + dt, \phi + d\phi)$ мы должны измерить пространственные и временные интервалы между этими точками. Мы предположим, что в обеих точках имеются наблюдатели A и B. Наблюдатель A

посылает одновременно световой сигнал B и мяч, который имеет угловую скорость ω. Каждый раз, когда наблюдатель B получает какую-то информацию, он посылает световой сигнал обратно A.

Когда A получает первый сигнал, он может оценить расстояние до B. Когда A получает второй сигнал, он может оценить, как долго двигался мяч до B.

Время путешествия света в обоих направлениях одно и тоже. Траектория света определена уравнением $ds^2 = 0$. В данном случае мы имеем

$$\frac{r-r_g}{r}c^2dt^2 - r^2d\phi^2 = 0$$

Когда свет возвращается к наблюдателю A, изменение t равно

$$dt = 2\sqrt{\frac{r}{r-r_g}}c^{-1}rd\phi$$

Собственное время первого наблюдателя равно

$$ds^2 = \frac{r-r_g}{r}c^2 4\frac{r}{r-r_g}c^{-2}r^2d\phi^2$$

Следовательно, пространственное расстояние

$$L = rd\phi$$

Когда объект, движущийся с угловой скорость ω, прибывает в B, изменение t равно $\frac{d\phi}{\omega}$. Собственное время в этой точке равно

$$ds^2 = \frac{r-r_g}{r}c^2d\phi^2\omega^{-2}$$

$$T = \sqrt{\frac{r-r_g}{r}}\omega^{-1}d\phi$$

Следовательно, наблюдатель A измеряет скорость

$$V = \frac{L}{T} = \sqrt{\frac{r}{r-r_g}}r\omega$$

Мы можем использовать скорость V как параметр преобразования Лоренца. Тогда длина (11.2) вектора (11.1) равна

$$L = \sqrt{\frac{r-r_g}{r}\left(c^2 - \frac{r}{r-r_g}r^2\omega^2\right)} = \sqrt{\frac{r-r_g}{r}}c\sqrt{\left(1-\frac{V^2}{c^2}\right)}$$

Следовательно, временной орт движущегося наблюдателя

$$e'_{(0)} = \left(\frac{1}{L}, 0, \frac{\omega}{L}, 0\right)$$

$$e'_{(0)} = \left(\sqrt{\frac{r}{r-r_g}}c^{-1}\frac{1}{\sqrt{\left(1-\frac{V^2}{c^2}\right)}}, 0, \omega\sqrt{\frac{r}{r-r_g}}c^{-1}\frac{1}{\sqrt{\left(1-\frac{V^2}{c^2}\right)}}, 0\right)$$

Пространственный орт $e'_{(2)} = (A, 0, B, 0)$ ортогонален $e'_{(0)}$ и имеет длину -1. Следовательно,

$$\frac{r-r_g}{r}c^2\frac{1}{L}A - r^2\frac{\omega}{L}B = 0 \tag{11.3}$$

$$\frac{r-r_g}{r}c^2A^2 - r^2B^2 = -1 \tag{11.4}$$

Мы можем выразить A из (11.3)

$$A = c^{-2}\frac{r}{r-r_g}r^2\omega B$$

и подставить в (11.4)

$$c^{-2}\frac{r}{r-r_g}r^4\omega^2B^2 - r^2B^2 = -1$$

$$\frac{V^2}{c^2}r^2B^2 - r^2B^2 = -1$$

Окончательно пространственный орт в направлении движения

$$e'_{(2)} = \left(c^{-2}\frac{r}{r-r_g}r\omega\frac{1}{\sqrt{1-\frac{V^2}{c^2}}}, 0, \frac{1}{r}\frac{1}{\sqrt{1-\frac{V^2}{c^2}}}, 0\right)$$

$$e'_{(2)} = \left(c^{-2}\sqrt{\frac{r}{r-r_g}}\frac{V}{\sqrt{1-\frac{V^2}{c^2}}}, 0, \frac{1}{r}\frac{1}{\sqrt{1-\frac{V^2}{c^2}}}, 0\right)$$

Следовательно, мы получим преобразование

$$\begin{aligned} e'_{(0)} &= \frac{1}{\sqrt{1-\frac{V^2}{c^2}}}e_{(0)} + \frac{V}{c}\frac{1}{\sqrt{1-\frac{V^2}{c^2}}}e_{(2)} \\ e'_{(2)} &= \frac{V}{c}\frac{1}{\sqrt{1-\frac{V^2}{c^2}}}e_{(0)} + \frac{1}{\sqrt{1-\frac{V^2}{c^2}}}e_{(2)} \end{aligned} \tag{11.5}$$

Если стационарный наблюдатель посылает свет в радиальном направлении, вращающийся наблюдатель наблюдает эффект Допплера

$$\omega' = \frac{\omega}{\sqrt{1-\frac{V^2}{c^2}}}$$

Мы должны добавить эффект Допплера для гравитационного поля, если движущийся наблюдатель получает радиальную волну, которая пришла из бесконечности. В этом случае эффект Допплера примет форму

$$\omega' = \sqrt{\frac{r}{r-r_g}}\frac{\omega}{\sqrt{1-\frac{V^2}{c^2}}}$$

Мы приводим оценку для динамики звезды S2, которая вращается вокруг Sgr A в таблицах 11.1 и 11.2. Таблицы основаны на двух различных оценках для массы Sgr A.

Если мы возьмём массу Sgr $4.1_{10}6M_{\odot}$ [1], то в перицентре (расстояние $1.868_{10}15$ см) S2 имеет скорость 738767495.4 см/сек и эффект Допплера равен $\omega'/\omega = 1.000628$. В этом случае мы измеряем длину $2.16474\mu m$ для волны, излучаемой с длиной $2.1661\mu m$ (Br γ). В апоцентре (расстояние $2.769_{10}16cm$) S2 имеет скорость $49839993.28cm/s$ и эффект Допплера равен $\omega'/\omega = 1.0000232$. Мы измеряем длину $2.166049\mu m$ для той же самой волны. Разность между двумя измерениями длины волны равна $13.098\mathring{A}$.

Если мы возьмём массу Sgr $3.7_{10}6M_{\odot}$ [2], то в перицентре (расстояние $1.805_{10}15cm$) S2 имеет скорость $713915922.3cm/s$ и эффект Допплера равен

$\omega'/\omega = 1.000587$. В этом случае мы измеряем длину $2.16483\mu m$ для волны, излучаемой с длиной $2.1661\mu m$ (Br γ). В апоцентре (расстояние $2.676_{10}16cm$) S2 имеет скорость $48163414.05cm/s$ и эффект Допплера равен $\omega'/\omega = 1.00002171$. Мы измеряем длину $2.1666052\mu m$ для той же самой волны. Разность между двумя измерениями длины волны равна $12.232\mathring{A}$.

Таблица 11.1. эффект Допплера на Земле для волны, излучаемой с S2; масса Sgr A равна $4.1_{10}6M_\odot$ [1]

	перицентр	апоцентр
расстояние см	$1.868_{10}15$	$2.769_{10}16$
скорость см/s	738767495.4	49839993.28
ω'/ω	1.000628	1.0000232
излучаемая волна $(Br\ \gamma)$ μm	2.1661	2.1661
наблюдаемая волна μm	2.16474	2.166049

Разность между двумя измерениями длины волны равна $13.098\mathring{A}$

Таблица 11.2. эффект Допплера на Земле для волны, излучаемой с S2; масса Sgr A равна $3.7_{10}6M_\odot$ [2]

	перицентр	апоцентр
расстояние см	$1.805_{10}15$	$2.676_{10}16$
скорость см/s	713915922.3	48163414.05
ω'/ω	1.000587	1.00002171
излучаемая волна $(Br\ \gamma)$ μm	2.1661	2.1661
наблюдаемая волна μm	2.16483	2.1666052

Разность между двумя измерениями длины волны равна $12.232\mathring{A}$

Разность между двумя измерениями длины волны в перицентре равна $0.9\mathring{A}$. Анализируя эти данные, мы приходим к заключению, что использование эффекта Допплера может помочь улучшить оценку массы Sgr A.

12. Преобразование Лоренца в радиальном направлении

Мы видим, что преобразование Лоренца в орбитальном направлении имеет знакомый вид. Очень интересно увидеть, какой вид это преобразование имеет в радиальном направлении. Мы начнём с процедуры измерения скорости и будем пользоваться координатной скоростью v

$$dr = vdt \tag{12.1}$$

Время путешествия света в обоих направлениях одно и тоже. Траектория света определена уравнением $ds^2 = 0$.

$$\frac{r-r_g}{r}c^2dt^2 - \frac{r}{r-r_g}dr^2 = 0$$

Когда свет возвращается к наблюдателю A, изменение t равно

$$dt = 2\frac{r}{r-r_g}c^{-1}dr$$

Собственное время наблюдателя A равно

$$\begin{aligned} ds^2 &= \frac{r-r_g}{r}c^2 4\frac{r^2}{r-{r_g}^2}c^{-2}dr^2 = \\ &= 4\frac{r}{r-r_g}dr^2 \end{aligned}$$

Следовательно, пространственное расстояние равно

$$L = \sqrt{\frac{r}{r-r_g}}dr$$

Когда объект, движущийся со скоростью (12.1), прибывает в B изменение t равно $\frac{dr}{v}$. Собственное время наблюдателя A в этой точке

$$ds^2 = \frac{r-r_g}{r}c^2dr^2v^{-2}$$

$$T = \sqrt{\frac{r-r_g}{r}}v^{-1}dr$$

Следовательно, наблюдатель A измеряет скорость

$$\begin{aligned} V &= \frac{L}{T} == \frac{\sqrt{\frac{r}{r-r_g}}dr}{\sqrt{\frac{r-r_g}{r}}v^{-1}dr} = \\ &= \frac{r}{r-r_g}v \end{aligned}$$

Теперь мы готовы найти преобразование Лоренца. Базисные вектора для стационарного наблюдателя - это

$$e_{(0)} = \left(\frac{1}{c}\sqrt{\frac{r}{r-r_g}}, 0, 0, 0\right)$$

$$e_{(1)} = \left(0, \sqrt{\frac{r-r_g}{r}}, 0, 0\right)$$

Единичный вектор скорости должен быть пропорционален вектору

$$(1, v, 0, 0) \tag{12.2}$$

Длина этого вектора

$$\begin{aligned} L^2 &= \frac{r-r_g}{r}c^2 - \frac{r}{r-r_g}v^2 = \\ &= \frac{r-r_g}{r}c^2\left(1-\frac{V^2}{c^2}\right) \end{aligned} \tag{12.3}$$

Следовательно, временной орт движущегося наблюдателя

$$\begin{aligned}
e'_{(0)} &= \left(\frac{1}{L}, \frac{v}{L}, 0, 0\right) = \\
&= \left(\sqrt{\frac{r}{r-r_g}}c^{-1}\frac{1}{\sqrt{(1-\frac{V^2}{c^2})}}, v\sqrt{\frac{r}{r-r_g}}c^{-1}\frac{1}{\sqrt{(1-\frac{V^2}{c^2})}}, 0, 0\right) \\
&= \left(\sqrt{\frac{r}{r-r_g}}c^{-1}\frac{1}{\sqrt{(1-\frac{V^2}{c^2})}}, \frac{V}{c}\sqrt{\frac{r-r_g}{r}}\frac{1}{\sqrt{(1-\frac{V^2}{c^2})}}, 0, 0\right)
\end{aligned}$$

Пространственный орт $e'_{(1)} = (A, B, 0, 0)$ ортогонален $e'_{(0)}$ и имеет длину -1. Следовательно,

$$\frac{r-r_g}{r}c^2\frac{1}{L}A - \frac{r}{r-r_g}\frac{v}{L}B = 0 \tag{12.4}$$

$$\frac{r-r_g}{r}c^2A^2 - \frac{r}{r-r_g}B^2 = -1 \tag{12.5}$$

Мы можем выразить A из (12.4)

$$A = c^{-2}\frac{r^2}{(r-r_g)^2}vB = c^{-2}\frac{r}{r-r_g}VB$$

и подставить в (12.5)

$$\begin{gathered}
\frac{r-r_g}{r}c^2c^{-4}\frac{r^2}{(r-r_g)^2}V^2B^2 - \frac{r}{r-r_g}B^2 = -1 \\
\frac{r}{r-r_g}B^2\left(1-\frac{V^2}{c^2}\right) = 1 \\
B^2 = \frac{r-r_g}{r}\frac{1}{1-\frac{V^2}{c^2}} \\
B = \sqrt{\frac{r-r_g}{r}}\frac{1}{\sqrt{1-\frac{V^2}{c^2}}}
\end{gathered}$$

$$\begin{aligned}
A &= c^{-2}\frac{r}{r-r_g}V\sqrt{\frac{r-r_g}{r}}\frac{1}{\sqrt{1-\frac{V^2}{c^2}}} \\
&= c^{-2}V\sqrt{\frac{r}{r-r_g}}\frac{1}{\sqrt{1-\frac{V^2}{c^2}}}
\end{aligned}$$

Окончательно пространственный орт в направлении движения

$$e'_{(1)} = \left(c^{-2}V\sqrt{\frac{r}{r-r_g}}\frac{1}{\sqrt{1-\frac{V^2}{c^2}}}, \sqrt{\frac{r-r_g}{r}}\frac{1}{\sqrt{1-\frac{V^2}{c^2}}}, 0, 0\right)$$

Следовательно, мы подучаем преобразование в знакомой форме

$$
\begin{aligned}
{e'}_{(0)} &= \frac{1}{\sqrt{1-\frac{V^2}{c^2}}}e_{(0)} + \frac{V}{c}\frac{1}{\sqrt{1-\frac{V^2}{c^2}}}e_{(1)} \\
{e'}_{(1)} &= \frac{V}{c}\frac{1}{\sqrt{1-\frac{V^2}{c^2}}}e_{(0)} + \frac{1}{\sqrt{1-\frac{V^2}{c^2}}}e_{(1)}
\end{aligned} \tag{12.6}
$$

13. Эффект Допплера в пространстве Фридмана

Мы рассмотрим другой пример в пространстве Фридмана. Метрика пространства имеет вид

$$ds^2 = a^2(dt^2 - d\chi^2 - \sin^2\chi(d\theta^2 - \sin^2\theta d\phi^2))$$

для закрытой модели и

$$ds^2 = a^2(dt^2 - d\chi^2 - \sinh^2\chi(d\theta^2 - \sin^2\theta d\phi^2))$$

для открытой модели. Связность пространства (α, β принимают значения 1, 2, 3)

$$
\begin{gathered}
\Gamma^0_{00} = \frac{\dot a}{a} \\
\Gamma^0_{\alpha\alpha} = -\frac{\dot a}{a^2}g_{\alpha\alpha} \\
\Gamma^\alpha_{0\beta} = \frac{\dot a}{a}\delta^\alpha_\beta
\end{gathered}
$$

Поскольку пространства однородно, для нас не имеет значение направление распространения света. В этом случае

$$dk^0 = -\Gamma^0_{ij}k^ik^j$$

Так как k - изотропный вектор, касательный к его траектории, мы имеем

$$dx^\alpha = \frac{k^\alpha}{k^0}dt$$

Так как $k^0 = \frac{\omega}{a}$, то

$$
\begin{gathered}
d\frac{\omega}{a} = -\frac{da}{a^2}\omega + \frac{da}{\omega a}g_{\alpha\alpha}k^\alpha k^\alpha = -2\frac{da}{a^2}\omega \\
ad\omega + \omega da = 0 \\
a\omega = const
\end{gathered}
$$

Следовательно, когда a растёт, ω становится меньше и длина волны растёт.

a растёт, когда свет путешествует сквозь пространство время, и это приводит к красному смещению. Причиной наблюдаемого красного смещения является не разбегание галактик, а изменение геометрии.

Рассмотрим теперь как красное смещение меняется во времени, если начальная и конечная точки не движутся. Для простоты я буду изменять только χ. χ_1 - начальное значение и χ_2 - конечное значение. Так как на траектории света $dt = d\chi$, мы имеем

$$\chi = \chi_1 + t - t_1 \qquad t_2 = \chi_2 - \chi_1 + t_1$$

Следовательно $a(t_1)\omega_1 = a(t_2)\omega_2$. Смещение Допплера имеет вид

$$K(t_1) = \frac{\omega_2}{\omega_1} = \frac{a(t_1)}{a(t_2)}$$

Если начальное время изменяется t'1 = t1 + dt, то K(t1 + dt) = a(t1 + dt) / a(t2 + dt) Производная K по времени имеет вид

$$\dot{K} = \frac{\dot{a}_1 a_2 - a_1 \dot{a}_2}{a_2^2}$$

Для замкнутого пространства $a = \cosh t$. Тогда $\dot{a} = \sinh t$.

$$\dot{K} = \frac{\sinh t_1 \cosh t_2 - \sinh t_2 \cosh t_1}{\cosh^2 t_2} = \frac{\sinh(t_1 - t_2)}{\cosh^2 t_2}$$

K уменьшается, когда t_1 увеличивается.

14. ПРЕОБРАЗОВАНИЕ ЛОРЕНЦА В ПРОСТРАНСТВЕ ФРИДМАНА

Чтобы изучить преобразование Лоренца в пространстве Фридмана, я хочу воспользоваться метрикой в форме

$$ds^2 = c^2 dt^2 - a^2(d\chi^2 + b^2(d\theta^2 - \sin^2\theta d\phi^2))$$

У меня есть два наблюдателя. Один не движется и имеет скорость $(1, 0, 0, 0)$, а другой движется вдоль χ и его скорость имеет вид $C = (1, v, 0, 0)$, и мы положим $V = av$.

Метрика диагональна и координаты θ, ϕ не меняются. У нас возникает преобразование в плоскости t, χ.

Единичная скорость первого наблюдателя имеет вид

$$e_0 = (\frac{1}{c}, 0, 0, 0)$$

и вектор, ортогональный ей, имеет вид

$$e_1 = (0, \frac{1}{a}, 0, 0)$$

Длина вектора C имеет вид

$$L = \sqrt{c^2 - a^2 v^2} = c\sqrt{1 - \frac{V^2}{c^2}}$$

Следовательно, единичный вектор скорости второго наблюдателя имеет вид

$$e'_0 = (\frac{1}{L}, \frac{v}{L}, 0, 0)$$

Мы ищем вектор

$$e'_1 = (A, B, 0, 0)$$

который ортогонален вектору e'_0. Для этого мы имеем

$$c^2 A^2 - a^2 B^2 = -1 \tag{14.1}$$

$$c^2 A \frac{1}{L} - a^2 B \frac{v}{L} = 0 \tag{14.2}$$

Мы получим из уравнения (14.2)

$$A = \frac{a^2}{c^2} v B \tag{14.3}$$

Мы подставим (14.3) в (14.1) и получим

$$B^2(\frac{a^4}{c^2}v^2 - a^2) = -1$$

$$B = \frac{1}{a\sqrt{1-\frac{V^2}{c^2}}}$$

Следовательно базис второго наблюдателя имеет вид

$$e'_0 = (\frac{1}{c\sqrt{1-\frac{V^2}{c^2}}}, \frac{V}{ca\sqrt{1-\frac{V^2}{c^2}}}, 0, 0)$$

$$e'_1 = (\frac{V}{c^2\sqrt{1-\frac{V^2}{c^2}}}, \frac{1}{a\sqrt{1-\frac{V^2}{c^2}}}, 0, 0)$$

Теперь мы можем выразить e' через e

$$e'_0 = \frac{1}{\sqrt{1-\frac{V^2}{c^2}}}e_0 + \frac{V}{c}\frac{1}{\sqrt{1-\frac{V^2}{c^2}}}e_1$$

$$e'_1 = \frac{V}{c}\frac{1}{\sqrt{1-\frac{V^2}{c^2}}}e_0 + \frac{1}{\sqrt{1-\frac{V^2}{c^2}}}e_1$$

15. Список литературы

[1] Ghez et al., The First Measurement of Spectral Lines in a Short-Period Star Bound to the Galaxy's Central Black Hole: A Paradox of Youth, ApJL, 586, L127 (2003), eprint arXiv:astro-ph/0302299 (2003)

[2] R. Schödel et al., A star in a 15.2-year orbit around the supermassive black hole at the centre of the Milky Way, Nature 419, 694 (2002)

[3] Eckehard W. Mielke, Affine generalization of the Komar complex of general relativity, Phys. Rev. D 63, 044018 (2001)

[4] F. W. Hehl, P. von der Heyde, G. D. Kerlick, and J. M. Nester, General relativity with spin and torsion: Foundations and prospects, Rev. Mod. Phys. 48, 393 (1976)

[5] Г. Е. Шилов, Математический анализ, Функции нескольких вещественных переменных, части 1 - 2, М., Наука, 1972

[6] Angelo Tartaglia and Matteo Luca Ruggiero, Angular Momentum Effects in Michelson-Morley Type Experiments, Gen.Rel.Grav. 34, 1371-1382 (2002), eprint arXiv:gr-qc/0110015 (2001)

[7] Yukio Tomozawa, Speed of Light in Gravitational Fields, eprint arXiv:astro-ph/0303047 (2004)

[8] Joao Magueijo, Covariant and locally Lorentz-invariant varying speed of light theories, Phys. Rev. D 62, 103521 (2000), eprint arXiv:gr-qc/0007036 (2000)

[9] Bruce A. Bassett, Stefano Liberati, Carmen Molina-Paris, and Matt Visser, Geometrodynamics of variable-speed-of-light cosmologies, Phys. Rev. D 62, 103518 (2000), eprint arXiv:astro-ph/0001441 (2000)

[10] Lochlainn O'Raifeartaigh and Norbert Straumann, Gauge theory: Historical origins and some modern developments, Rev. Mod. Phys. 72, 1 (2000)

[11] Claus Lämmerzahl, Mark P. Haugan, On the interpretation of Michelson-Morley experiments, Phys. Lett. A282 223-229 (2001), eprint arXiv:gr-qc/0103052 (2001)

[12] Holger Muller et al., Modern Michelson-Morley Experiment using Cryogenic Optical Resonators, Phys. Rev. Lett. 91, 020401 (2003), eprint arXiv:physics/0305117 (2000)

[13] Antonio F. Ranada, Pioneer acceleration and variation of light speed: experimental situation, eprint arXiv:gr-qc/0402120 (2004)

[14] Александр Клейн, Многообразие базисов, eprint arXiv:math.DG/0412391 (2004)

16. Предметный указатель

G-система отсчёта 3

голономные координаты вектора 4
голономные координаты связности 5

координатная система отсчёта 3

локальная система отсчёта 4

метрико-аффинное многообразие 9

неголономная координата 6
неголономные координаты вектора 4
неголономные координаты на многообразии 7
неголономные координаты связности 5
неметричность 9

объект неголономности 6

параллелограмм 10

преобразование Лоренца 4

пфаффова производная 3

синхронизация системы отсчёта 13
система отсчёта в пространстве событий 4

тензор кручения 9

форма кручение 9

17. Специальные символы и обозначения

$a^{(i)}$ неголономные координаты вектора 5

a^i голономные координаты вектора 4

$\overline{e}^{(k)}$ форма системы отсчёта 3

$e^k_{(i)}$ стандартные координаты системы отсчёта 3

$\overline{e}_{(i)}$ векторное поле системы отсчёта 3

$\overline{\overline{e}}=<\overline{e}_{(i)},i\in I>$ система отсчёта 3

$\overline{\overline{e}}=(\overline{e}_{(k)},\overline{e}^{(k)})$ система отсчёта, расширенное определение 3

$x^{(k)}$ неголономная координата 6

$\Gamma^{(k)}_{(i)(j)}$ неголономные координаты связности 5

Γ^k_{ij} голономные координаты связности 5

$c^{(i)}_{(k)(l)}$ объект неголономности 6

$(\overline{\partial}_i,\overline{d}s^i)$ координатная система отсчёта 3

$\partial_{(k)}$ производная вдоль векторного поля $e_{(k)}$ 6